

*28555*

T. C.

EGE ÜNİVERSİTESİ  
NÜKLEER BİLİMLER ENSTİTÜSÜ

**İPEK FİBROİNİN SEYRELTİK SULU ÇÖZELTİLERDEN URANYUM  
KAZANIMINDA KULLANILABİLİRLİĞİNİN İNCELENMESİ**

**YÜKSEK LİSANS TEZİ**

Mahmoud (Ali Asghar) - ASLANI

YÖNETİCİ

**Doç. Dr. Meral ERAL**

BORNOVA - İZMİR  
1993

**ITHAF**

Tahsilimin bu düzeye gelmesini sağlayan dünyadaki en değerli varlığım Anneme, Murteza abime, Mahnaz ve Shahla ablalarıma armağan ediyorum.



**TESEKKÜR**

Hazırladığım yüksek lisans tez çalışmamda; her açıdan yardımcılarını benden esirgemeyen tez hocam Sayın Doç. Dr. Meral ERAL'a, Nükleer Bilimler Enstitüsü müdürü Sayın hocam Prof. Dr. Göngür YENER'e, konu ile ilgili desteklerini gördüğüm Sayın hocam Prof. Dr. Devrim BALKÖSE'ye, ayrıca laboratuvar çalışmamda her zaman içtenlikle yardımcılarını esirgemeyen öğretim görevlisi Sayın Dr. Sule ÖLMEZ'e, Araştırma görevlisi Sayın Sema AKYIL'a, literatür taramamda yardımcı olan Ege Üniversitesi Merkez Kütüphanesinin müdürlüğü özellikle Sayın Ayşe SEVEN'e, yazım sırasında desteklerini gördüğüm TETRA Tek. Lt. şirketinin müdürü Sayın Selman ÖLMEZ'e, Sayın Erdem Aydın YILMAZ'a, Bursa İpekçilik araştırma merkezinin müdürü Sayın Mümin KARA ve Nükleer Bilimler Enstitüsünün tüm elemanlarına teşekkür etmeyi bir borç bilir, sükranlarımı sunarım.

Saygılarımla

Mahmoud(Ali-Asghar)-ASLANI

S U M M A R Y

The silk which had a very important position over 4000 years period in life of humanity, is composed of the fibers of Larva secretion. The Bombyx mori silk is a material which has been studied in detail by different researchers. The amino acid units of fibroin protein that forms silk are linearly arranged. The amino acid and the peptide chain of the Bombyx mori silk fibroin has been shown as Gly-Ala-Gly-Ala-Gly-Ser-Gly-Ala-Ala-Gly-[Ser-Gly-(Ala-Gly)<sub>n</sub>]<sub>s</sub>-Tyr sequence. There are some of investigations about the uptake of heavy metals Cu(II),Ni(II),Hg(II),Pb(II),Sn(II),(IV),Fe(III) from aqueous solutions using the silk mentioned. In this study, we investigated the recovery of uranium from aqueous solutions by using the silk fibroin.

First, the native silk was cut with scissons into short lengths (about 0.5 cm). The coarsely shredded silk was degummed in 100 ml of solutions (pH=10) containing 0.5 g of soap and 0.05 g Na<sub>2</sub>CO<sub>3</sub> for 2 hours at about 100°C. Native silk/solution ratio was selected as 2 g/100 ml. The degummed samples was washed throughly with deionized water, and air-dried. Thus, fibroin which was enclosed with sericin, is saved. The yield of degummation which was found to be 76.31%, conforms to the literature values. The fibroin was then used for uranium uptake tests.

Then, by use of the standard uranium solutions, factors effecting uranium recovery, like; pH, uranium concentration, temperature, retention time and mixing rate were studied and the uranium uptake capacity of *Bombyx mori* silk fibroin was determined. The parameters investigated were as follows; pH=2-10, [U]:10-500 ppm, temperature:25-60°C and retention time 5-360 min. It has been found that it exhibits a maximum at pH=5, and at retention time 120 minute. Under this optimum conditions, the recovery efficiency of fibroin is found to be as  $96.95 \pm 1.51\%$ .

We also investigated elution of uranium from the loaded fibroin. For this purpose, different elution solutions were being tested. 1M  $\text{CH}_3\text{COONH}_4$  was distinguished as the appropriate elution reactive. The optimum elution conditions were also determined and under these conditions the highest efficiency was obtained as  $85.57 \pm 4.07\%$ . The uranium concentration in aqueous solution was determined spectrophotometrically by the PAR [4-(2-pyridylazo)resorcinol] method.

## Ö Z E T

İnsanlığın yaşamında 4000 yılı aşkın süredir çok önemli yeri olan ipek, bir larvanın salgı lifleridir. *Bombyx mori* ipeği çeşitli araştırcı tarafından detaylı olarak çalışılmış ve halen çalışılmakta olan bir materyaldir. İpek maddesini oluşturan fibroin proteininde amino asit birimleri doğrusal dizilmistir. *Bombyx mori* ipek fibroinin amino asit ve peptid zincirinin dizilis sırası Gly-Ala-Gly-Ala-Gly-Ser-Gly-Ala-Ala-Gly-[Ser-Gly-(Ala-Gly)<sub>n</sub>]-Tyr olarak belirlenmiştir ( $n=2$ ). İpeği kullanarak sulu çözeltilerden Cu(II), Ni(II), Hg(II), Pb(II), Sn(II), (IV), Fe(III) gibi ağır metallerin alımına ilişkin bazı çalışmalar mevcuttur. Bu çalışmada, ipek fibroini kullanılarak sulu çözeltilerden uranyumun kazanımı araştırılmıştır.

Başlangıçta, doğal ipek makas ile ( $\approx 0.5$  cm) küçük parçalara kesilmistir. Kabaca parçalanmış olan ipek  $100^{\circ}\text{C}$  'de 2 saat süre ile  $0.05\text{g Na}_2\text{CO}_3$  ve  $0.5\text{g}$  sabun tozu içeren  $100 \text{ ml}'lik$  çözelti ile ( $\text{pH}=10$ ) yıkanmıştır. Doğal ipek/cözelti oranı  $2 \text{ g}/100 \text{ ml}$  olarak seçilmistir. Yıkamış olan ipek örnekleri sürekli olarak deiyonize su ile yıkamış ve oda sıcaklığında kurutulmuştur. Böylece sericin ile kaplanmış olan fibroin sericinden sıyrılmıştır. Yıkama verimi  $\approx 76.31$  olarak bulunmuş olup bu değer literatür verilerine uymaktadır. Elde edilen fibroin uranyum alım denemelerinde kullanılmıştır.

Daha sonra, uranyum standart çözeltileri kullanılarak uranyum kazanımını etkileyen faktörler örneğin; pH, uranyum konsantrasyonu, sıcaklık, etkileşim süresi ve karıştırma hızı incelenmiş ve *Bombyx mori* ipek fibroinin uranyum alım kapasitesi

tayin edilmiştir. İncelenen parametreler aşağıdaki gibidir; pH=2-10,  $[U]=10-500\text{ppm}$ , sıcaklık  $25-60^\circ\text{C}$  ve etkilesim süresi 5-360 dk . Maksimum alım pH=5'de, 100 ppm uranyum konsantrasyonunda,  $25^\circ\text{C}$  sıcaklıkta, 120 dk'lık etkilesim süresinde gerçekleşmiştir. Bu optimum koşullar altında, fibroinin uranyum kazanım verimi  $\%96.95 \pm 1.51$  olarak bulunmuştur.

Ayrıca yüklenmiş olan fibroinden uranyumun elüsyonu da araştırılmıştır. Bu amaçla, çeşitli elüsyon çözeltileri denenmiş ve uygun elüsyon reaktifi olarak 1 M  $\text{CH}_3\text{COONH}_4$  seçilmiştir. Optimum elüsyon koşulları da saptanmış ve bu koşullar altında en yüksek sıyırmaya verimi  $\%85.57 \pm 4.07$  olarak bulunmaktadır. Sulu çözeltilerde uranyum konsantrasyonu spektrofotometrik olarak PAR [4-(2-pyridylazo)resorcinol] yöntemi ile tayin edilmiştir.

İÇİNDEKİLER

Sayfa

	Sayfa
I. GİRİŞ	1
II. TEORİK BİLGİLER	3
II.1. İpek	3
II.2. İpeğin Kimyasal Yapısı ve Özellikleri	6
II.3. Fibroinin Yapısı ve Özellikleri	11
II.4. Metal Katyonlarının İpek Fibroine Alınması	20
II.5. Uranyum Kimyası	22
II.5.1. $MO_2^+$ ve $MO_2^{+2}$ Diokso İyonları	23
II.5.2. Uranyumun Doğal Durumu	25
II.5.3. Uranyum Bilesikleri	27
a) Uranyum Oksitler	27
b) Uranatlar	28
c) Uranyum Halojenürler	29
d) Uranyum Florürler	30
e) Uranil Tuzları	31
II.5.4. Uranil Bilesikleri	32
II.5.5. Uranyumun Sulu Çözelti Kimyası	34
II.5.6. Sulu Çözeltilerden Uranyumun Geri Kazanımı	36
III. DENEYSEL ÇALIŞMALAR	38
III.1. Kullanılan Cihazlar ve Kimyasal Maddeler	38
III.1.1. Kullanılan Cihazlar	38
III.1.2. Kullanılan Kimyasal Maddeler	38

III.2.Uranyumun Spektrofotometrik Tayini	38
III.2.1. PAR Yöntemi	39
III.3.Uranyum Standart Çözeltisinin Hazirlanması	42
III.4.Fibroinin Hazirlanması	42
III.5.Fibroinin Analizi	42
III.6.Alım Denemelerin Yapılışı	42
IV. BULGULAR ve TARTIŞMA	44
IV.1. Alım Denemeleri	44
IV.1.1.Fibroinin Uranyum Alım kapasitesinin Belirlenmesi	44
IV.1.2.Sıcaklığın Etkisi	44
IV.1.3.Karıştırma Hızının Etkisi	46
IV.1.4.pH'in Etkisi	47
IV.1.5.Uranyum Konsantrasyonunun Etkisi	49
IV.1.6.Etkileşim Zamanının Etkisinin İncelenmesi	50
IV.1.7.Uranyum Alımında Standart Sapma	52
IV.2. Uranyumun Geri Kazanım Denemeleri	53
IV.2.1.Siyırma Reaktifinin Seçimi	53
IV.2.2.Siyırmada pH'in Etkisinin İncelenmesi	54
IV.2.3.Siyırmada Etkileşim Süresinin Etkisi	55
IV.2.4.Siyırmada Standart Sapma	55
IV.2.5.Tekrarlanabilme Döngüsünün İncelenmesi	55
V. SONUÇ	57
VI. KAYNAKLAR	60

## SEKİL LISTESİ

	Sayfa
Şekil.1 : Bombyx Mori İpeğinin Kesiti	3
Şekil.2 : Katlanmış β Levha Yapısı	4
Şekil.3 : Bombyx Mori Fibroininde Zincir Dizilisi	5
Şekil.4 : X-İşini ile Deneme	14
Şekil.5 : İpeğin X-İşini Diyagramı	15
Şekil.6 : Fibroinin Hücre Temel Yapısı (rhomboidal)	17
Şekil.7 : Fibroinin Hücre Temel Yapısı (monoclinical)	17
Şekil.8 : Fibroinin Misel Yapısı	17
Şekil.9 : $\text{Na}[\text{UO}_2(\text{OCOCH}_3)_3]$ 'da Anyon Yapısı	24
Şekil.10: Uranyum Reaksiyonları	26
Şekil.11: $\text{UO}_2(\text{NO}_3)_2 \cdot 6(\text{H}_2\text{O})$ 'nın yapısı	34
Şekil.12: 1) Uranyumun PAR ile Verdiği Bileşiginin 2) PAR Çözeltisinin Işık Absorbsiyonu	40
Şekil.13: PAR Yönteminde Kullanılan Kalibrasyon grafığı	41
Şekil.14: Termostatlı Su Banyolu Karıştırıcı	43
Şekil.15: Değişik Sıcaklıklarda Fibroine Alınan Uranyum Miktarları ve Alım Verimleri	45
Şekil.16: Değişik pH'larda Fibroine Alınan Uranyum Miktarları ve Alım Verimleri	48
Şekil.17: Değişik Uranyum Konsantrasyonlarında Fibroine Alınan Uranyum Miktarları ve Alım Verimleri	50
Şekil.18: Etkileşim Zamanının Etkisinin İncelenmesi	51

## TABLO LİSTESİ

	Sayfa
Tablo.1 : Fibroin ve Serisinde Elementlerin Yüzdesi	6
Tablo.2 : Fibroin'deki Amino Asitlerin Yüzdesi	12
Tablo.3 : İpegin Bazı Fiziksel Özellikleri	19
Tablo.4 : Uranyum Halojenürler	29
Tablo.5 : Değişik Sıcaklıklarda Fibroine Alınan Uranyum Miktarları ve Alım Verimleri	45
Tablo.6 : Karıştırma Hızının Fibroine Alınan Uranyum Miktarına ve Alım Verimine Etkisi	46
Tablo.7 : Değişik pH'larda Fibroine Alınan Uranyum Miktarları ve Alım Verimleri	48
Tablo.8 : Değişik Uranyum Konsantrasyonlarında Fibroine Alınan Uranyum Miktarları ve Alım Verimleri	49
Tablo.9 : Etkileşim Zamanının Etkisinin İncelenmesi	51
Tablo.10: Siyuma Reaktifinin Seçimi	53
Tablo.11: Siyirmada pH'nın Etkisi	54
Tablo.12: Siyirmada Etkileşim Süresinin Etkisi	55
Tablo.13: Tekrarlanabilme Döngüsüne İlişkin Veriler	56

## I. GİRİŞ

Seyretilik sulu çözeltilerden ağır metallerin ve özellikle uranyumun geri kazanımı hakkında bilgi edinebilmek amacıyla ile birçok araştırmacı tarafından doğal materyaller kullanılarak, değişik çalışmalar yapılmıştır. Bu konu ile ilgili en çok kullanılan biomatriksler, biopolimerler olarak tanımlanan proteinler (yün, keratin türevleri), polifenolik maddeler (humik asit ile zenginleşmiş linyitler, kabuklar) (1), poliamino karbohidratlar (çitosan, çitosan fosfat, çitin fosfat, deaminasyona uğramış dialdehit streachler) (1,2), mikroorganizmalar (3), immobilize edilmiş tannin (4), agaros üzerinde immobilize edilmiş tannin (5), mikroalgalar(6), bitki atıkları (kestanenin iç ve dış kabukları, yer fıstığının iç ve dış kabukları, soğan kabuğu, portakal ve greyfurt kabuğu) (7) dır. Ancak bunların yanında çok sayıda sentetik adsorbanlar da geliştirilmiştir.

Doğal polimerlerden ipek fibroininin suda çözünmeyen bir protein olması, protein metal etkileşimlerini incelemeye bir model olarak kullanılmasını sağlar (8). Ipek fibroini  $\alpha$ -amino asitlerin peptidlesmesinden oluşan bir proteindir. Polipeptid makromolekülleri üzerinde serbest karboksil, amin, alifatik ve aromatik alkol grupları ve alkil grupları bulunmaktadır. Makromoleküller disülfür köprüleri, tuz bağları ve hidrojen bağları ile birbirine bağlanmıştır (9).

Balköse yün ve ipek fibroini ile yapılan çalışmalarında bu iki protein türüne bağlanan metal katyonlarının reaksiyonunu:

- a) Metal katyonlarının çözeltiden lif yüzeyine taşınması, yani çözeltide difüzyon
- b) Metal katyonlarının lifin yüzeyine absorbsiyonu
- c) Metal katyonlarının lif içinde reaksiyon merkezlerine difüzyonu, yani lif içinde difüzyon
- d) lifdeki belli fonksiyonlu gruplarla metal katyonlarının kimyasal reaksiyonu basamakları ile olduğunu önüne bulundurarak her iki lif üzerine geniş çapta incelemeler yapmıştır.

Guthrie ve Laurie 1968 yılında ve Kokot ve ark. 1972-1973 yıllarında yün üzerine Cu(II) alımını incelerken; karboksil grubunun pH 3-5 aralığında birincil konumunda olduğunu göstermiştir. Zayıf asidik çözeltilerde etkileşim söyledir :

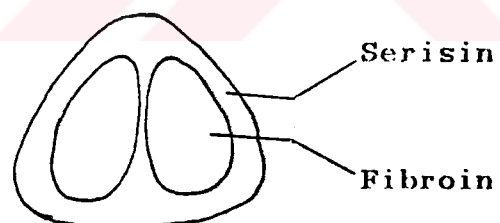
a) Başlıca serbest karboksile iyonik bağla yün/bakır(II)'yi oluşturur ve iki esr aktif paramagnetik türleri de (yesil renkte) meydana getirir, b) önemi daha az olan disülfitler ile belirlenmiş ve sonuçta bir diamagnetik bileşim olduğu açıklanmıştır. Hemrajani ve Nawani 1967' de nitratlı ve klorürlü ortamlardan yün üzerine Cu(II)'nin alımının pH 4-5 aralığında a) basit adsorbsiyon b) -CONH<sub>2</sub> ile c) -CONH- ile ve d) muhtemelen tirozinin hidroksil grubu ile kombinasyonundan söz etmistiştir (1).

Bu çalışmada, bu bilgilerden yola çıkılarak, ipek fibroini kullanılması ile seyreltik sulu çözeltilerden uranyum kazanımı incelenmiştir.

## II. T E O R I K B İ L G İ L E R

### II.1. İpek

Lepidoptera (pulkanatlılar) ve Areneae (örümcekler) sınıflarına ait türlerin salgıladığı liflere ipek adı verilir. Ticari olarak bilinen ipek pulkanatlılardan *Bombyx mori* türünün salgıladığı liflerdir. İpek lifi şekil 1'de kesiti görüldüğü gibi iki kısımdan oluşur. Fibroin denilen kristal yapılı kısmı suda çözünebilen bir protein olan serisin ile kaplanmıştır. Serisin serin ve aspartik asit gibi polar amino asitlerce, fibroin glisin ve alanin gibi polar olmayan amino asitlerce zengindir.



Sekil. 1: *Bombyx mori* ipeğinin kesiti (10).

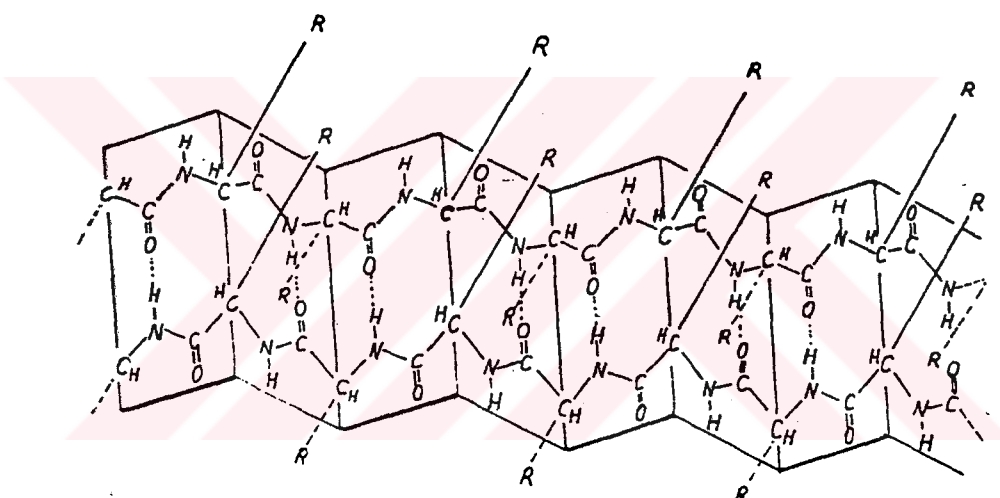
İpek fibroini katlanmış  $\beta$  levha yapısında ise de  $\alpha$  heliks, poliglisin 2 ve kallogen konformasyonlarında bulunan fibroinler de vardır (10).

Bombyx mori fibroininde amino asit dizilişi üzerinde yoğun çalışmalar yapılmıştır ve molekül zincirinin aşağıdaki dizilerden oluştuğu belirlenmiştir:

Gly-Ala-Gly-Ala-Gly-Ser-Gly-Ala-Ala-Gly-[Ser-Gly-(Ala-Gly)<sub>n</sub>]<sub>e</sub>-Tyr

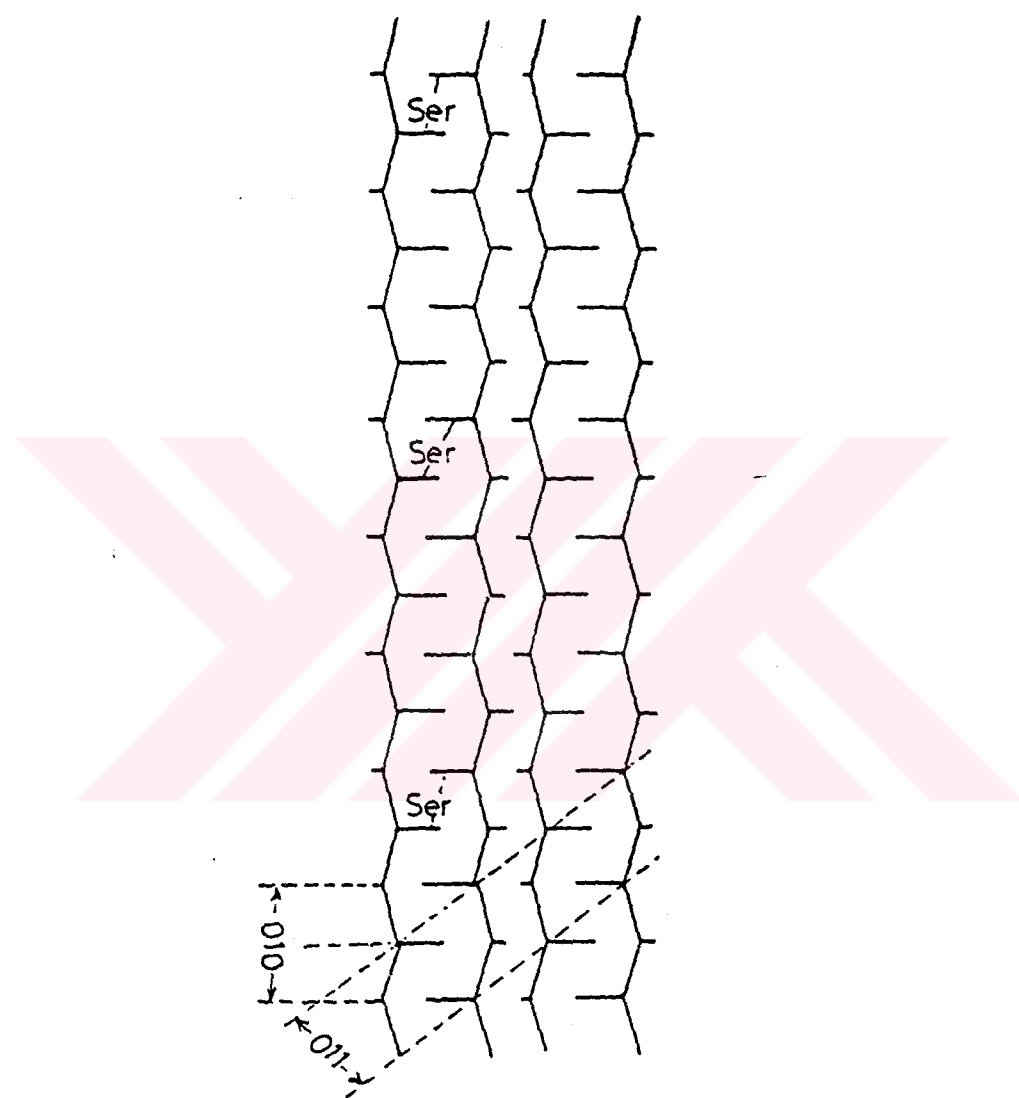
Burada n genelde 2 olarak kabul edilir (11).

Warwickere göre Bombyx mori fibroini şekil 2'de görüldüğü gibi katlanmış  $\beta$  levha yapısındadır.



Sekil. 2: Katlanmış  $\beta$  levha yapısı (10).

Warwicker daha sonraki çalışmalarında antiparalel  $\beta$  yapısındaki fibroinleri beş ayırmış, Lucas ve Rudal bir altıncayı eklemistir. Bütün bu yapılar şekil 3'de görüldüğü gibi katlanmış levha yapılardır. Katlanmış levhaların birbirine olan uzaklıklarını (c) her cinsde değişik olup 9.3 °A ile 15.7 °A arasında değişmektedir. Lucas ve Rudal'ın önerdiği zincir dizilişi şekil 3'de görüldüğü gibidir. Düzlemler arasındaki uzaklık 9.3 °A'dur. Amino asid dizilişi (Gly-Ala)<sub>2</sub>Gly-Ser gibi hegzapeptidlerin varlığını gerektirir (10).



Sekil. 3: *Bombyx mori* fibroininde zincir dizilişi.

## II.2. İpegin Kimyasal Yapısı ve Özellikleri

Bombyx mori ipegi iki protein yapısı olan Fibroin ve Serisin'den meydana gelmiştir (12). Ayrıca düşük miktarda yağ, mum, boyalı ve mineral gibi diğer maddeler içermektedir.

Fibroin, ipek lifinin eksenidir. Ağırlığının %70-80'ini temel maddeler oluşturur. Serisin sürekli bir kılıf şeklinde fibroini kaplar. İpegin %20-30'u serisindir. %2-3'den daha az miktarda yağ, mum, boyalı ve mineraller ipegin çok küçük miktarını oluşturur. Fibroin ve serisin tablo-1'de görüldüğü gibi aynı elementleri aynı yüzdelerde içermektedir. Ancak önemli ölçüdeki farklılığı, kimyasal ve fiziksel davranışları ve yapı karakterinden ileri gelir (13).

Tablo. 1: Fibroin ve Serisinde Elementlerin Yüzdesi

Elementler	Fibroin	Serisin
C	47.60	46.50
H	6.39	6.04
N	18.33	16.50
O	27.68	30.96

Serisin, taze kozaların kurutulmasında olduğu gibi sıcaklığı bağlı değilse de 60-65°C'de suyun içinde kısmen ve normal basınç altında kaynar, distile suda tamamen erir. Serisinin çözünebilir fraksiyonları, α ve β harfleri ile gösterilir. Proteinler gibi davranışını da, yapıştırıcı özelliğe sahip değildir. Kaynar suda çözünebilir. Diğer fraksiyonu olan γ'da tamamen alınır. γ fraksiyonu 15°C'de, %15'den az konsantrasyonda jellesir ve 30 °C'nin üstünde bu yapı değişmez. İki atmosfer basınç altında 120°C'de distile suda serisin çözünebilir. Serisinin en az %10'unun kaynamış çözeltileri soğumaya bırakıldığında jelimsi bir kütle meydana gelir. Eğer kaynatma işlemi uzatılırsa veya çözeltiye asetik asit veya potasyum hidrür ilave edilirse bu özellik kaybolur. Serisin kaynar sabun çözeltilerinde tamamen çözünür.

Serisin protein reaksiyonlarının tamamını verir. Kursun asetat ve tanin ile çözeltide çöker. Daha sonra çökelek hidrojen sülfür ile çözülür. Çözeltiye su ilavesi ile serisin çöker. Serisin bu yolla katı olarak elde edilir (13).

Mikroskopik incelemeler serisin tabakasının yüzeyinin düzensiz ve dalgalı olduğunu göstermiştir. Serisinin kapladığı alt tabaka oldukça üniform kalınlıkta pürüzsüz ve şeffaftır. Buna karşılık ipeğin biçimi üniform değildir. Floss tabakasından dolayı ipek çok az da olsa eliptiktir.

Degumlanmış ipeğin boyuna görünümü parlak, yoğun ve homojen çubuklar veya kalınlıkları az değişen ikili çizgiler olarak görülmektedir.

Ham ipegin higroskopik özellikleri ticari olarak çok önemlidir. İpek çok higroskopiktir. Kendi ağırlığının %30'unu absorplama kapasitesine sahiptir. Degumlanmış ipek ise ağırlığının %10'unu absorblar.

Ipegin yoğunluğu 1.33 olduğu halde degumlanmış ipegin yoğunluğu 1.25'tir. Bunlar ipegin tüm çeşitleri için aynı değildir. Ipegin hacminin yaklaşık %65'i katı ve yaklaşık %35'i boşluktur.

İpek üzerine suyun etkisi sürekli değildir. Islak iken dayanıklılığı %20 civarında azalır. Ancak kurutulduğunda orjinal dayanıklılığına ulaşır. İpek sıcak suya konduğunda siser ancak çözünmez.

Derisik sülfürik ve hidroklorik asit ipegi çözer. Derisik hidroklorik asit ipegi bir veya iki dakikada çözer. Sülfürik asitte çözmek çok uzun zaman alır. Eğer ipek sülfürik asit ile sadece bir kaç dakika etkileşmiş ise ve daha sonra yıkamış ve nötrallenmiş ise, uzunluğu %30 - 50 kısaltılmış olur. Parlaklığını kaybeder, daha fazla hasar meydana gelmez.

İpek tannik asit ile reaksiyona girdiğinde sıcak çözeltilerde kendi ağırlığının %25'inden fazlasını, soğuk çözeltilerde büyük miktarını absorblar. Böyle absoblanmış tannin su ile etkileşmesinde kolaylıkla uzaklaşamaz. Tannik asit ipegin ağırlaşmasında bir stabilleyici olarak kullanılır.

Isıtmadıkça formik asit ve asetik asidin ipek üzerinde zarar verici bir etkisi yoktur. Normal sıcaklıklarda ipek formik asit ile etkileştiğinde siser, açılır ve yaklaşık 2-3 dakika içinde jelatinimsi olur. Bu durumda ipek su ile durulandığında kendi orjinal durumuna az ya da çok ulaşır ve

kurutulduğunda sertleşir, daha parlaklaşır, gerilme direnci azalmaz.

Ipek seyreltik alkalilere duyarlı değilse de parlaklığı biraz azalır. Kostik soda veya kostik potas gibi sıcak derişik alkaliler ile etkilestiğinde ipek çözünür. Amonyak ve bazik sabunlar sadece ipegin serisin tabakasını çözer. Ancak fibroin üzerine hiçbir etkisi yoktur. Boraksın ise herikisi üzerine de etkisi yoktur. Ham ipek kireçli suda bırakılırsa ipek bir miktar sıser ve serisin yumuşar. Kireçli su ile etkileşim devam ettirilirse kırılgan ipek meydana gelir. Bakır ve nikel tuzlarının amonyaklı çözeltileri ipek için iyi çözgenlerdir.

- Ipek metalik tuzlara karşı büyük eğilime sahiptir. Bu özellik ipek ağırlastırma prosesleri için temeldir.

Ipegin protein kimyasının özellikleri aşağıda sıralanmıştır:

- 1) Ipek fibroini sıcaklığa dayanıklıdır. Eğer ipek 100°C'a kadar ısıtılsa nemini kaybetmesi hariç hiçbir değişim göstermez. Soğutulduğunda tekrar nem kapar. Ipek 100°C'da birkaç gün ısıtırsa çok az renklenir. 130° C'de bozulma başlar, 70°C'de bozulma çok hızlı olur ve hoş olmayan kokuya yanar.
- 2) Derişik hidroklorik ve sülfürik asitler ipegin büyük miskarını diğer çözücü asitlerden daha fazla çözer.
- 3) Oda sıcaklığında ipek %90'lık formik asitle muamele edilirse sıser ve küçülür. Ancak etkilesimden 2-3 dakika sonra su ile yıkılmış ise orjinal boyutuna döner.

- 4) Oda sıcaklığında asetik asidin etkisi yoktur. Ancak mumlu maddeler ve eriyebilir proteinin küçük miktarı glasikal asetik asitte çözünür. İpek asetik anhidrid ile etkileştiğinde serbest radikalı asitlenir. Dikloroasetik ve triflороasetik asitler ipeği çabucak çözer.
- 5) Fibroin  $70^{\circ}\text{C}$ 'de 0.1N NaOH çözeltisine konulduğunda belli oranda çözünür. İpek 0.1N NaOH ile kaynatıldığında fibroindeki toplam azotun yaklaşık %9'u amonyağa dönüşür. Bu değer fibroindeki artığın azot miktarına uymaktadır.
- 6) Amonyak fibroini yavaş yavaş bozar. Fibroin % 0.5'lik amonyak ile kaynatıldığında dayanıklılığı azalır ve etkileşimin artışı ile ızar.
- 7) İpek kimyasal olarak halojenürler ile soğutulduğunda kombineleşir. N/50 klorür veya N/50 bromür çözeltisinde ilk otuz dakikada hızla absorbe olur, daha sonra absorbsiyon yavaşlar.
- 8) Iyot, klor ve brom kadar hızlı absorblanmaz. Ancak oda sıcaklığında uzun süre muamele edildiğinde absorblanır.
- 9) Oksidasyon reaktifleri ipek ile tahrip edici reaksiyon verir.
- 10) Beyaz ipek UV ışınına maruz kaldığında kırılabilir, rengi yavaşça sarıya döner. Aynı zamanda ipegin kimyasal özellikleride değişir. Diğer taraftan ipek bakiretilendiamin çözeltisinde zor çözünür (14).

### II.3. Fibroinin Yapısı ve Özellikleri (13)

Fibroin normal veya iki atmosfer basınç altında kaynar, distillenmiş suda çözünmez. Kaynar sabun çözeltisinde serisin tamamen çözünürken fibroin bundan etkilenmez. Fibroini çözeltiye almak için molekülünü parçalayıcı reaktiflere gerek vardır. Konsantre mineral asitler bu amaçla kullanılır. Alkali ilavesi ile bir sülfürik çözeltisi olusur ve beyaz renkte bir çökelek meydana gelir. Hidroklorik çözeltisi olduğunda aşırı alkol ilavesiyle çökme meydana gelir. Fibroin 130-140°C'de asetik asitte ve diğer bazı organik asitlerin erime noktalarında çözünür. Bu çözeltilerde, uygun seyreltmelerden sonra tannik asit veya sodyum klorür ile fibroin çöker. Fibroin alkali hidratların seyreltik çözeltilerinin kaynama noktasında çözünür ve bu çözeltiler seyreltilerek veya asit ilavesiyle bir çökelek haline getirilir. Diğer taraftan fibroin çözeltisi; lityum bromür çözeltisi, gliserin içeren bakır tuzlarının amonyaklı çözeltileri veya nikel tuzlarının amonyaklı çözeltileri ile elde edilebilir. Serisinde olduğu gibi fibroin de tüm protein reaksiyonlarını verir.

Serisin ve fibroin bir amino asitin  $-\text{NH}_2$  grubu ile diğer amino asitin  $-\text{COOH}$  gruplarının peptid bağı oluşturması ile  $\alpha$ -amino asitlerinden meydana gelmiş bir protein zinciridir. Fibroinin toplam hidrolizi ile oluşan amino asitler aşağıda belirtilmistir:

- 1) Glikokol      ( $\alpha$ -aminoasetik asit)
- 2) Alanin      ( $\alpha$ -aminopropiyonik asit)
- 3) Tirozin      ( $\alpha$ -amino- $\beta$ -oksifenilpropiyonik asit)
- 4) Lösin      ( $\alpha$ -aminoisobutilasetik asit)
- 5) Fenilalanin      ( $\beta$ -fenil- $\alpha$ -amino-propiyonik asit)
- 6) Serin      ( $\alpha$ -amino- $\beta$ -oksipropiyonik asit)
- 7) Arginin      ( $\delta$ -guanidin- $\alpha$ -aminovalerianik asit)
- 8) Lizin      ( $\alpha, \epsilon$ -diaminokapronik asit)
- 9) Histidin      ( $\beta$ -imidazol- $\alpha$ -aminopropiyonik asit)
- 10) Prolin      ( $\alpha$ -pirolidinkarbonik asit)
- 11) Aspartik asit ( $\alpha$ -aminosuksinik asit)
- 12) Glutamik asit ( $\alpha$ -aminoglutarik asit)

Abderhalden tarafından fibroinin hidrolizi ile elde edilmiş sonuçlar tablo 2 'de gösterilmistir.

Tablo. 2: Fibroin'deki Amino asitlerin Yüzdesi

Amino Asitler	Yüzdesi	Amino Asitler	Yüzdesi
Glisin	40.5	Tirozin	11.0
Alanin	25.0	Arginin	1.5
Lösin	2.5	Lizin	0.9
Serin	1.8	Histidin	0.8
Fenilalanin	1.5	Prolin	1.0

Fibroinin kısmi hidrolizi ile oda sıcaklığında %70'lik H<sub>2</sub>SO<sub>4</sub> kullanılarak aşağıdaki dipeptidler elde edilmiştir:

Glisil-d-alanin sentetik olarak elde edilen metildiketopiperazin'in tüm özelliklerini göstermektedir.



d-alanil-glisin , glisil-1-tirozin , glisil-1-lösin , d-alanil-1-serin.

Ayrıca, d-alanil-glisil-1-tirozin tripeptidi ve glisil-d-alanil-glisil-1-tirozin tetrapeptidi; glisin'nin iki molekülü, alanin'nin bir molekülü ve tirozin'nin bir molekülü birleşmistiir.

Serisin'de fenilalanin hariç fibroin'de bulunan amino asitlerin tümü ayrıca valin ve bir amino asit şekeri olan chitosamine bulunmaktadır.

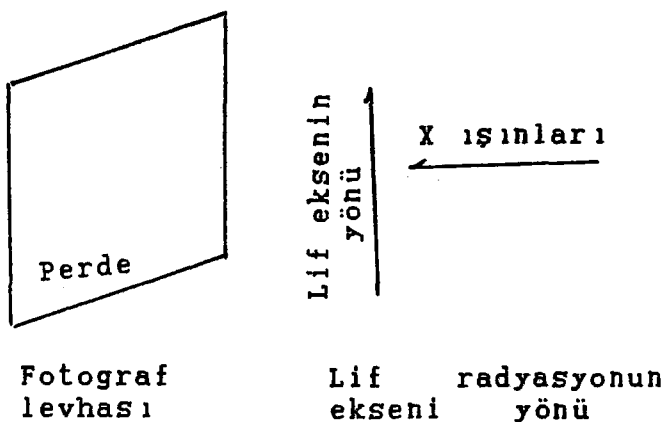
Fibroin ve serisin'in hidrolizi ile elde edilen amino asitler peptid bağı bağlanmış ve su şekilde gösterilmistiir.

Bu molekül zinciri çok uzundur. Böylece fibroin; polimerizasyonu yüksek olan doğal maddeler sınıfına girer.

Fibroin makromolekülünün yapısını X-ışını incelemeleri ile açıklanabilmistir. Daha önce diğer liflerde kullanıldığı gibi ipek için de uygulanmıştır.

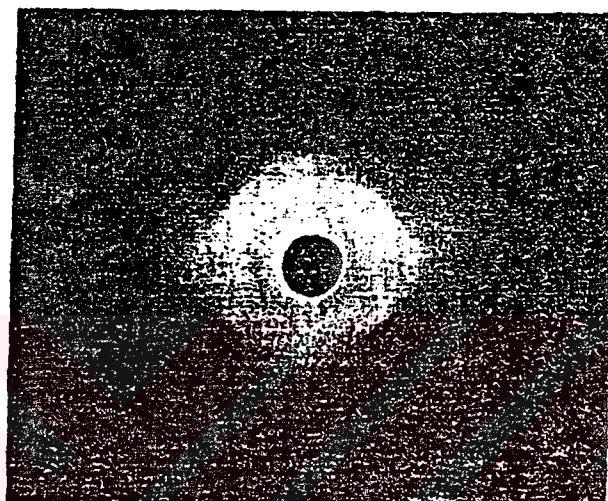
İlk kez Herzog ve Jancke ,monokromotik röntgen ışınınını kullanarak genelde diğer liflerde görülen lif diyagramı olarak bilinen özel bir diyagram göstererek ipeği tanımlamışlardır.

Bazı lifli yapılarda kristal örgüleri aynı lif ekseni ile paralel olabilen çeşitli kristallografik yönleri olan gruplar içinde dağıtabilirler. Bunun gibi yapılar çok yönlü lif yapıları olarak bilindiğinden diğerleri basit lif yapıları olarak adlandırılmıştır. Doğal olarak çok yönlü lif yapısında kristal gruplarınınbazısı çok büyük olduğundan türlü yönelimler mümkündür. Polanyi lif yapısını X-ışını ile incelemiştir.



Sekil. 4: X-ışını ile deneme.

Lifin ekseni gelen ışının doğrultusuna dikay ve fotoğraf levhası düzlemine paraleldir. Böyle bir lif diyagramının iki ekseni vardır.



Sekil. 5: İpegin X ışını diyagramı.

C-C ve C-N bağlarının uzunlukları gözönüne alınırsa, lif ekseni ile paralel olan belirtme periyodunun uzunluğu ( $7^{\circ}\text{A}$ ) iki peptid bağın uzunluğu ile uyuşmaktadır. Fibroinin toplam hidrolizi ile elde edilen tüm amino asitler - glisin ve alanin gibi temel hücre boyutları ile uyuşmaktadır. Daha önce açıklanmış gibi fibroinin kısmi hidrolizinde sadece glisilalanin veya alanilglinin dipeptidleri bulunmuştur. Dolayısıyla bu dipeptid fibroinin temel hücresinin "en küçük yapı taşı" olarak simgelenmektedir.

Glisilalanin dipeptidinin molekül ağırlığı 146 olduğundan, temel hücrede bunun gibi dört dipeptid yani dört makromolekülün yer aldığı görülmektedir. Bu dipeptidlerin bir çoğunun bağlanmasından fibroinin uzaysal retikulları oluşur.

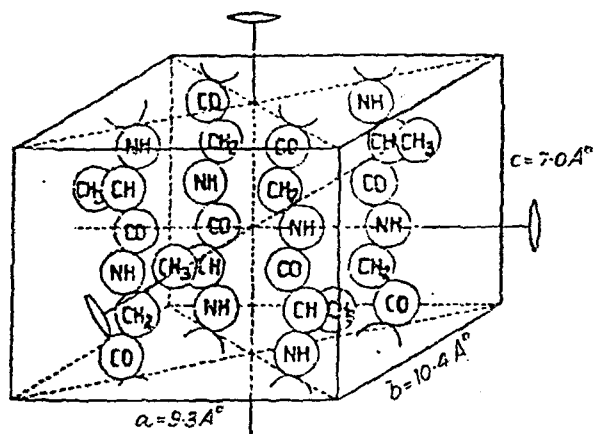
Bu en küçük yapı taşı, rhomboid (sekil 6) ve monoklinikal (sekil 7) sistemlerin her ikisinde de kombine olabilir. Simetrinin yüksek derecesine sahip olamayan maddelerin kristalik sistemi için sadece x-ışını ile tayin yapılmaz.

Zincirin uzunluğu x-ışını ile yaklaşık 150°A olarak belirlenmiştir. Fibroin kristalinin oluşumunda en az 20 temel hücrenin rol alması gereklidir. Lifli maddelerin bu kristalleri kristalitler veya miseller olarak adlandırılmıştır. En son tayin Nageli tarafından yapılmış, bu kristalitlerin uzamış oluşumunu ekmeğin yumuşak iç kısmına benzetmiştir.

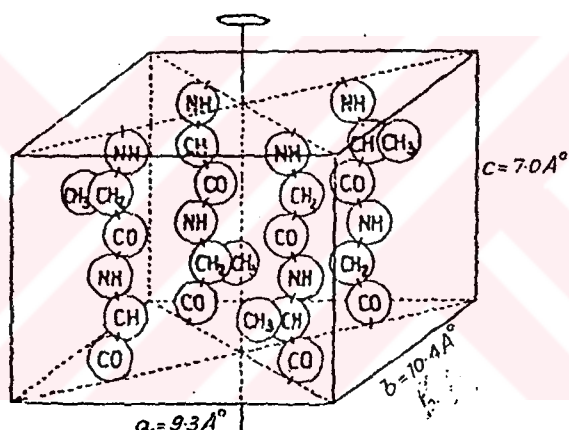
Lif içinde miseller sürekli değildir. Diğer liflerde boş alanlar (sekil 8) ipeğinkinden iki misli büyük olduğu halde 50°A gibi büyük çapa sahip bu boşluklar nedeniyle zincirin sırası bozulmuştur.

Bu misel alanların boyutları ve yönelimlerini saptamak için altın veya civa tuzlarının bir çözeltisi ile yavaş yavaş indirgenmiş olan lif doygunluğa getirilmiştir. Böylece hazırlanmış lif x-ışınları ile incelenmiş kendi yapısından başka kullanılan metalin Debye-Scherrer karakteristik halkalarıda gözlenmiştir (13).

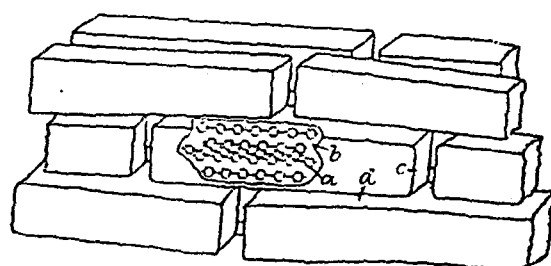
Bombyx mori ipek böceğinde ipek fibroinin biyosentez mekanizmasını saptamak amacıyla ile Asakura ve ark.ları tarafından ( $1^{-13}\text{C}$ ) glisin, ( $1^{-13}\text{C}$ ) alanin, ( $1^{-13}\text{C}$ ), ( $2^{-13}\text{C}$ ) veya



Sekil.6: Fibroinin hücre temel yapısı (rhombohedral) (12).



Sekil.7: Fibroinin hücre temel yapısı (monoclinical) (12).



Sekil.8: Fibroinin misel yapısı (12).

( $1,2-^{13}\text{C}$ ) asetatlar ve ( $1-^{13}\text{C}$ )-glukoz gibi maddeler ile işaretleme yaparak NMR (Nükleer Magnetik Rezonans) tekniği ile izlenmiştir (15). İpek böceğiin 5inci larva dönemine ait posterior ipek bezesinde ipek fibroini sentezlenmektedir. İşte bu biomatriks üzerinde yukarıda adı geçen işaretleme tekniği kullanılarak incelemeler yapılmıştır ve sonuçlar aşağıdaki gibi özetlenebilir :

a) Hemolymf de sorbitol-6-fosfat (S-6-P)'ın yüksek derişim ile G-6-P yerdeğisimini sağlıyarak bu böcekte enerji üretimi için temel karbonat kaynağı hemolymf de S-6-P olduğu önerilmiştir. Posterior ipek bezesi için kültür ortamında S-6-P

Ipegin bazı fiziksel özellikleri tablo 3'de verilmiştir.

Tablo. 3: Ipegin Bazı Fiziksel Özellikleri (18).

Dayanıklık, Kuru	(g/denier*)	2.8-5.2
Dayanıklık, Yas	(g/denier )	2.4-4.4
Gerilme Direnci	(1000 Psi)	45-83
Uzatılabilme	(%, Kırıkta)	13-31
Geri kazanım esnekliği	(%)	33/20
Sertlik	(g/denier)	76-117
Özgül Ağırlığı	(g/cm³)	1.25
Nem Kazanımı	(%, 70°F, %65 RH**)	11
Kimyasal Direnci		İyi
Çamasır Suyu Direnci		Beyazlanır
Çözgene Direnci		İyi
Günes Işığına Direnci		Güzel
Yıpranmaya Karşı Direnci		İyi

---

\*Denier; İpek lifinin büyüklüğü Denier terimi ile tanımlanır.

Bir Denier; 0.05 g biriminde 450 metre olan bir lifin ağırlığıdır (4).

\*\*RH; Bağıl Nem

#### II.4. Metal Katyonlarının İpek Fibroine Alınması

İpegin metal katyonlarına gösterilen büyük ilgi ipegin ağırlastırılması işlemi ile teknolojik uygulama alanı bulmuştur. Demir(III) klorür ve kalay(IV) klorür adsorbsiyonuna dayanan ağırlastırma işlemleri halen uygulanmaktadır (10).

Ipegin suda çözünmeyen bir protein olması, protein-metal katyonu etkileşimlerini açıklamada bir model olarak kullanmasını sağlar. Friedman ve Masri keratine metal katyonları alımını incelerken karşılaştırma amacıyla doğal ve 3-aminotrozil ipege ve 3-nitrotrozil ipege kalay (II) alımını incelediler. 3-aminotrozil ipegin, 3-nitrotrozil ipegin sekizde biri kadar kalay(II) bağlandığını saptadılar (1).

Balköse Cu(II), Hg(II), Pb(II), Fe(II) iyonlarının değişik fibroinlere alımı ve kinetигini detaylı olarak arastırmıştır. Bağlanma kinetигini incelerken metal katyonlarının sulu çözeltilerden fibroine alınması lif yüzeyine yapısık durgun çözelti katmanından yayının, fibroin yüzeyine adsorbsiyon, fibroin içine bağlanma merkezlerine yayının ve bu merkezlerle tepkime basamaklarını göz önünde bulundurmuştur (9). Adsobsiyon ve kimyasal tepkime adımları, çözeltide ve lif içinde yayının adımlarından hızlı olduğunu ve alım hızını ya çözeltide yayının veya lif içinde belirler. Cu(II) için hem sıvı, hem de lif içinde alım hızını kararlaştırdığını; Hg(II) için fibroin yüzeyine yapısık çözelti katmanından yayınınla kontrol edilmekte olduğunu; Pb(II) ve Fe(II) iyonları

için çözeltide yayınımla kontrol edildiğini belirtilmistir (10). Ayrıca aynı araştırmacı tarafından doğal, deamine ve esterleşmiş fibroinlere Hg(II), Cu(II), Ni(II) iyonlarının alımına ilişkin araştırmalar yapılmış ve su sonuçlar elde edilmistir: esterleşmiş fibroine hiç Cu(II) bağlanmaması, bağlanan Ni(II) miktarının çok az olması doğal fibroinde Ni(II) ve Cu(II)'nin fibroinin serbest karboksil gruplarına bağlandığını; deamine fibroine ise Cu(II), Ni(II) ve Hg(II) doğal fibroine olduğundan daha fazla bağlanmakta olduğunu açıklamıştır (8).



## II.5. Uranyum Kimyası (19, 20)

Uranyum 1789 da Klaproth tarafından bulunmuştur. 1939 yılında uranyumun, fisyon olayının Hahn ve Strassman tarafından bulunmasına kadar ticari değeri azdı. Uranyum mineralleri radyum kaynakları olarak kullanılıyordu. Uranyumun çok az miktarı seramiklerin boyanmasında kullanılıyor büyük miktarları ise atılıyordu. Uranyum nükleer yakıt olarak önem taşımaktadır.

Uranyum Ag, Hg, Cd veya Bi'dan daha fazla bulunduğu halde gelişigüzel olarak yayılmıştır. En önemli uranyum mineralleri oksit, oraninite [pitchblende onun bir formudur. Değişik bileşime sahip ve  $UO_2$  formülüne yakındır.] ve uranyum vanadatlardır.

Uranyum, ağır metallerden ( $25^{\circ} C'$  de  $19,07 \text{ g/cm}^3$ ) biridir ve üç farklı kristalik modifikasyona sahiptir. Uranyum çok sayıda metaller arası bilesikler örneğin  $UeMn$ ,  $UeNi$ ,  $USn$  vb. meydana getirmekte ancak özel kristallik yapısından dolayı çok sayıda katı çözelti meydana getirememektedir. Uranyum kimyasal olarak aktiftir ve çoğu elementler ile doğrudan reaksiyon verir. Havada, yüzeyi hızlı bir şekilde sarı renkli ince bir tabaka oluşturur ve daha sonra koruyucu olmayan siyah renkli bir tabaka olusur. Uranyumun tuzu genelde alev alabilir. Su ile reaksiyonu çok karmasiktır ve kaynar su ile  $UO_2$  ve hidrojen meydana getirir.

Meydana gelen hidrojen, metal ile birleşerek hidrür oluşturur. Bu ise metalin parçalanmasına neden olur. Uranyum hızlı olarak hidroklorik asitte (genel olarak siyah kalıntılar geri bırakarak) ve nitrik asitte çözünür. Ancak sülfürik asit, fosforik asit ve florik asitlerde yavaşça çözünür. Uranyum alkaliler ile etkilesmez.

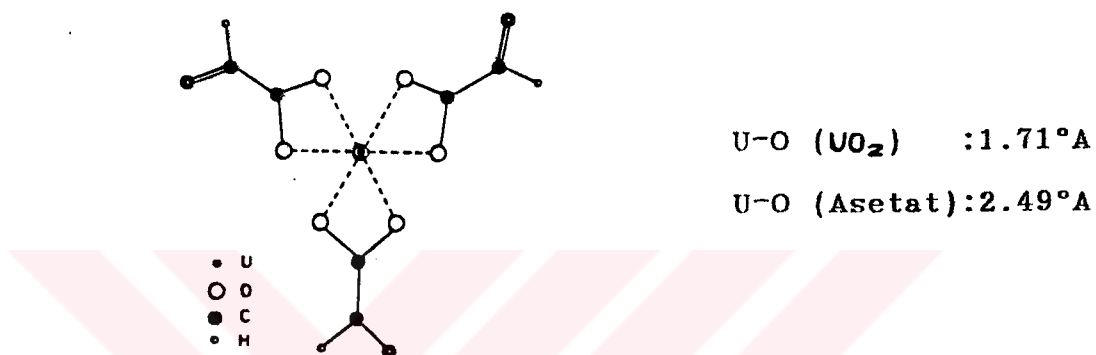
#### II.5.1. $\text{MO}_2^+$ ve $\text{MO}_2^{+2}$ Diokso Iyonları (19)

Bu iyonların M-O bağları çok kararlılardır ve diğer bazı okso iyonlara karşı bu iyonlar farklı kimyasal olaylara karşı bozulmadan kalır. MO grubu bir "il" grubu şeklinde bazı oksitlerin ve okso iyonların yapısında mevcut ayrıca  $\text{MoO}_2\text{F}$  veya  $\text{WO}_2\text{F}$  moleküller hale genürler olduğu halde  $\text{UO}_2\text{F}_2$ ' flor köprüleri ile bir çizgisel O-U-O grubu meydana getirir.

Okso iyonlar katı bilesiklerde kristalik ve çözeltilerde çizgiseldir. Bu iyonlar negatif iyon ve nötral moleküller ile çok sayıda kompleks meydana getirirler. Kristalografi verilere göre 4 ; 5 veya 6 atom ligantı O-M-O grubunun ekvatorial düzleminde yer alırlar.

Bu ligantlar ortam koşullarına bağlı olarak bir düzleme olabilir veya olmayıabilir. Genelde ekvatorial düzlemede 5 ve 6 düz koordinasyonları gerçekleşir. Düz koordinasyon ile hidroksitlerin varlığı, ayrıca hidroliz çözeltilerde polinükleid uranil iyonlarının davranışları daha iyi açıklanabilir. Bu konu ile ilişkin şekil 9'de gösterilmiş olduğu gibi sodyum uranil asetat kompleksinin anyon yapısı bir örnektir. Karboksilat grupları, iki disli ve birbiri

ile eşdeğerdirler. Diğer bileşiklerde benzer yapılar mevcuttur örneğin  $\text{UO}_2(\text{NO}_3)_2(\text{H}_2\text{O})_2$ ,  $\text{UO}_2(\text{NO}_3)_2(\text{OP(OEt)}_3)_2$ ,  $\text{Rb}(\text{UO}_2(\text{NO}_3)_3)$ .



Sekil. 9:  $\text{Na}(\text{UO}_2(\text{OCOCH}_3)_3)^-$  da anyon yapısı (19,21).

Bu konumda olan ağır moleküllerde, oksijen atomlarının kesin yerini belirtmede ve M-O bağ uzunluğunu hesaplamada güçlükler mevcuttur. Ancak M-O bağ uzunluğunun sabit olmadığı kesin olarak bilinmektedir. Bu yüzden  $\text{UO}_2^{2+}$  iyonu için M-O bağ uzunluğu  $1.6 - 2.0 \text{ \AA}$  arasında değişmektedir. Dolayısıyla infrared verileri geniş çapta bağ uzunluğu  $r$  ( $\text{\AA}$ ) ile kuvvet sabiti  $K$  (mili dyn/ $\text{\AA}$ ) arasında bağlantı kurabilmek için aşağıdaki denklem kullanılmaktadır :

$$r(\text{U-O}) = 1.08 K^{-1/3+} + 1.17$$

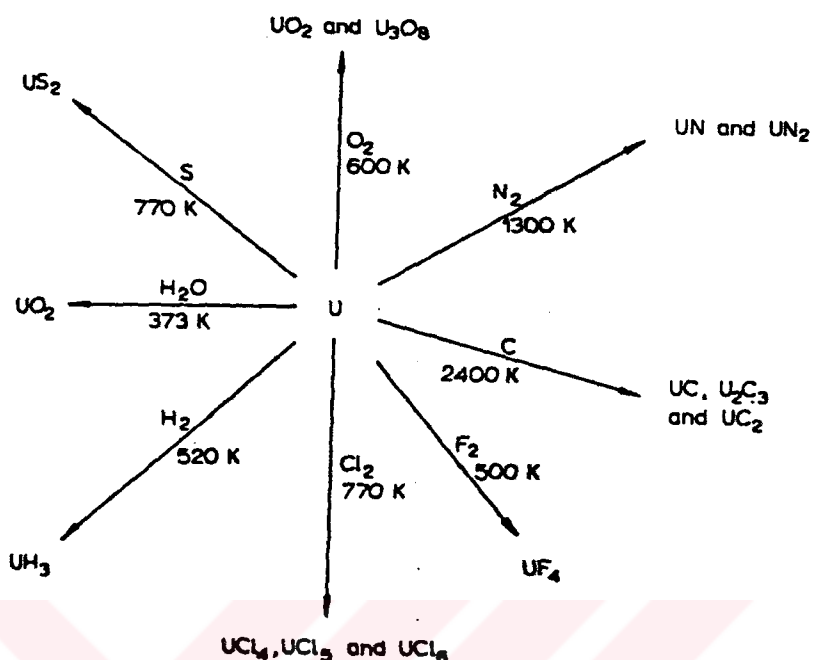
Bu kural X ısının verileri ile genelde benzerlik gösterir.

$Mg^{2+}$  iyonun durumunda bağ şiddeti ve ayrıca azalmaya karşı kimyasal kararlılık aşağıdaki sıraya göre azalmaktadır :  $U > Np > Pu > Am$ . Ayrıca U-O bagi için bağlanma enerjisi büyüktür. Bu durum bağ sayısının ikiden fazla olduğunu göstermektedir. Uygun "d" ve "f" orbitalleri moleküler orbitallerin oluşumunda katılarak bir δ bagi ve iki π bağını oluşturmaktadır.  $UO_2^{+2}$  iyonunda moleküler orbitalleri doludur ve sonraki elektronlar anti bağ orbitallerinde yer alırlar.  $UO_2^+$  iyonunu kararsızlığı 5f' deki elektronların enerjisinin toplam yüke olan hassaslığına bağlanır ve U-O bağının overlop yapmasında çok etkili olmaktadır (19).

#### II.5.2. Uranyumun Doğal Durumu (22)

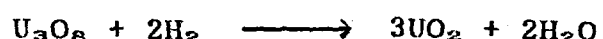
Uranyum temel olarak  $U_3O_8$ 'den meydana gelmiş Pitchblende'den ekstrakte edilir. Ancak mineral kayalar ender olarak enfazla milyon gram başına 2 kilogram uranyum ihtiva etmektedir.

Uranyumun reaksiyonları aşağıdaki gibi sematize edilebilir (22) :



Şekil. 10: Uranyum reaksiyonları.

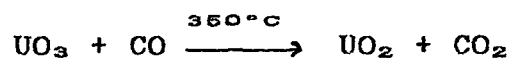
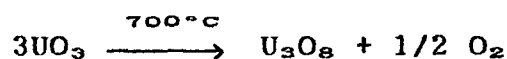
Ton başına uranyum sari cevheri  $K_2(UO_2)_2(VO_4)_2 \cdot 3H_2O$  bileşigi ile  $\approx 1.36 - 2.27$  kg  $U_3O_8$  ihtiva etmektedir.  $H_2SO_4$  de cevherin yıkaması ve iyon değiştirmeye işlemi  $U_3O_8$ 'ın saflaştırılmasına neden olur. Daha sonra hidrojen ile etkileşimi  $UO_2$ 'yi oluşturur (23).



### II.5.3. Uranyum Bileşikleri

#### a) Uranyum Oksitler

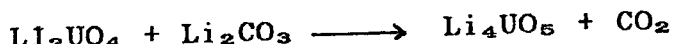
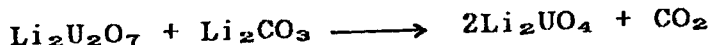
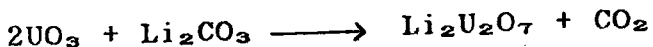
U-O sistemi simdiye kadar tanınmış karmaşık sistemlerden biridir. Bu sistemin bir kısmı yaklaşık aynı kararlılık ile değişik oksidasyon durumuna bağlıdır. Burada stokiyometriden sapma bir genel kurallıdır. Stokiyometrik formüller ideal formüller olarak kabul edilmelidir. Örneğin  $\text{UO}_2$  dioksidinde bir yapısal değişiklik gözlemeden önce yaklaşık %10'luk bir oksijen atomun fazlalığıtan ilave edilebilir ve  $\text{UO}_2$  fazı  $\text{UO}_2$  den  $\approx \text{UO}_{2.25}$  kadar dağılımlı vardır. En önemli oksitler, koyu kahve renkli  $\text{UO}_2$ , yeşil siyahı  $\text{U}_3\text{O}_8$  ve portakal sarısı  $\text{UO}_3$ . Bu oksitlerin her biri termodinamik ve ıssızal kararlılık ile değişik kristal yapı ve renklere sahiptirler.  $\text{UO}_3$  trioksidi 350°C 'da uranil nitrat veya amonyum diuranatın parçalanmasından elde edilir. Bir polimorfu ekvatoryal pozisyonda bulunan oksijenler tarafından U-O-U bağları ile birbirine bağlanmış uranil iyonu olarak düşünülebilir bir levhalı yapı meydana getirir. Ayrıca aynı yapı  $\text{UO}_2\text{F}_2$  (F köprüleri ile) ve bazı uranatlarda görülmektedir. Diğer oksitleri aşağıdaki reaksiyonlar ile elde edilebilir:



Tüm bu oksitler kolaylıkla  $\text{HNO}_3$  de çözünebilir ve  $\text{UO}_2^{+2}$  tuzlarını meydana getirir. Uranil çözeltisine pH 2.5-3.5'de  $\text{H}_2\text{O}_2$  ilavesi ile yaklaşık formülü  $\text{UO}_4 \cdot 2\text{H}_2\text{O}$  olan sarı renkli bir çökelek meydana getirilir. U (VI)'nın perokso sistemi çok karmaşıktır. Yukarıdaki peroksidi  $\text{UO}_2^{+2}(\text{O}_2^{-2}) \cdot 2\text{H}_2\text{O}$  şeklinde gösterilebilir. Bu peroksit  $\text{NaOH}$  ve  $\text{H}_2\text{O}_2$  etkisi ile çok kararlı bir tuz olan  $\text{Na}_4[\text{UO}_2(\text{O}_2)_3] \cdot 9\text{H}_2\text{O}$  bilesigini meydana getirir. Bu bilesığın anyonu ekvatorial düzlemede üç perokso grubu ile çizgisel  $\text{UO}_2$  içermektedir.

b) Uranatlar

Alkali veya toprak alkali karbonatlar ile uranyum oksitlerin erimesi veya uranil asetat anyonuna ilişkin tuzların termik bozunması sonucu portakal veya sarı renkli maddeler meydana gelir ki, bunlara uranatlar adı verilir. Örneğin :



Uranatlar temel olarak  $\text{M}_2\text{U}_x\text{O}_{x+2}$  stoikiyometriye sahiptir. Ancak  $\text{M}_4\text{UO}_5$ ,  $\text{M}_3\text{UO}_6$  vb. yapıları da tanımlanmıştır. Mo veya W'a karşı uranyuma ilişkin izo/hetero polianyonlar çözeltide mevcut değildir.  $\text{UO}_2(\text{NO}_3)_2$  çözeltisine sulu  $\text{NH}_3$  çözeltisi eklenmesi ile çok avantajı olan amonyum diuranat meydana gelir. Bu bilezik çoğunlukla su ile örtülmüştür  $[\text{UO}_2(\text{OH})_2 \cdot \text{H}_2\text{O}]$ .

Toprak alkali uranatlar  $\text{UO}_2^-$  gibi iyonlar içermemektedir. Bu bilesikler oksijen atomlarından oluşan asimetrik koordinasyona sahip ve  $1.92^\circ\text{A}$  civarında olan iki kısa U-O bağı, uranil grubunu meydana getirir.  $\text{UO}_2$  grubunun eksene dik olan ve düzlemede yer alan uzun U-O bağları birbirine bağlanarak zincir veya levha oluşturur.  $\text{Na}_4\text{UO}_5$  ve  $\text{M}_3^{++}\text{UO}_6$  yapıları bu tür uranil grubu içermemekle beraber uranyum +6 değerliktedir.  $\text{Na}_4\text{UO}_5$  de karşı köşelerde birbirine ortak olan  $\text{UO}_6$  oktaedral'dan oluşan zincire sahip ve böylece sonsuz  $-\text{U}-\text{O}-\text{U}-\text{O}-$  zincirleri meydana gelir. Bu zincire dik olan düz  $\text{UO}_4$  grubu mevcut ve zincirde U-O bağları  $\text{UO}_2$  grubundaki U-O bağlarından daha uzundur.

c) Uranyum Halojenürler

Tablo 4' de en çok bilinen halojenürler verilmistir. Bu halojenürler kimyasal, yapısal ve termodinamik özellikler bakımından tamamen incelenmiştir.

Tablo 4: Uranyum Halojenürler <sup>a</sup>

+6	+5	+4	+3
$\text{UF}_6$ beyaz	$\text{UF}_5$ açık mavi	$\text{UF}_4$ yeşil	$\text{UF}_3$ yeşil
$\text{UCl}_6$ siyah	$\text{U}_2\text{Cl}_{10}$ toprak kırmızısı	$\text{UCl}_4$ yeşil	$\text{UCl}_3$ kırmızı
-----	-----	$\text{UBr}_4$ kahve	$\text{UBr}_3$ kırmızı
-----	-----	$\text{UI}_4$ siyah	$\text{UI}_3$ siyah

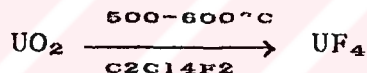
<sup>a</sup> -  $\text{UF}_4$  ve  $\text{UF}_6$ 'dan başka diğer florürler örneğin siyah renkli olan  $\text{U}_2\text{F}_9$ ,  $\text{U}_4\text{F}_{14}$ ,  $\text{U}_5\text{F}_{22}$ , da tanılmıştır.

d) Uranyum Florürler

Uranyum triflorür,  $UF_3$  katı kristali, yüksek erime noktasına sahip uçucu olmayan lantan florürler gibidir.  $UF_3$  suda /seyretilik asitlerde çözünmez.  $UF_3$ ,  $UF_4$ 'ün alüminyumla birlikte indirgenmesi ile meydana gelir:



Sulu tetraflorür, U(IV) çözeltilerinden çöktürerek elde edilir. Susuz florür ise aşağıdaki gibi elde edilebilir :



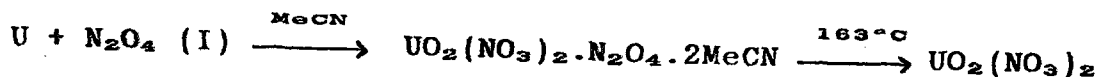
Katı tetraflorür uçucu olmayıp suda çözünmez. Ancak kolaylıkla yükseltgen çözeltilerde çözünür.

Uranyum hegzaflorür  $400^{\circ}C$ 'da florün düşük florürler üzerine etkisinden elde edilir. Uranyum hegzaflorür renksiz kristaller şeklindedir. Erime noktası  $64.1^{\circ}C$  ve buhar basıncı  $25^{\circ}C$ 'da  $115\text{ mmHg}$  dir. Bu bilesik uranyumun uçucu olmayan tek bileşigidir. Çok kolay elde edilebilir ve fiziksel özellikleri geniş çapta incelenmiştir. Bu bilesik nükleer yakıt olarak kullanılan saf uranyum eldesinde gaz difüzyon yöntemi ile uranyum izotoplarının ayrılmasında kullanılmaktadır. Bu bilesığın gaz fazında yapısı oktaedralıdır. Moleküller kristalden az sapma ile dörtgendir.

e) Uranil Tuzları (19,20)

Bu bilesikler sadece uranyumun genel tuzlarıdır ve önemli olanları altı, üç veya iki molekül su ile kristalize olmuş nitratlardır. Kristaldaki su molekülünün sayısı kullanılan nitrik asidin derişimine bağlıdır. Bu nitratın en önemli ve belirgin normal dışı özelliği değişik maddelerde örneğin eterler, alkoller, ketonlar ve esterlerde çözünebilmesidir. Bu tuz organik ve sulu faz arasında dağılır. Ayrıca nitrat kolaylıkla sulu çözeltilerde ekstrakte edilir.

Bu işlem uranyumun ayrılması ve saflaştırılmasında klasik bir yöntemdir. Çünkü diğer aktinit iyonları  $MO_2^{2+}$  hariç sadece az sayıda metal nitratlarından organik çözgen ile ekstrakte edilebilir. Bu konuda çok sayıda  $UO_2(NO_3)_2-H_2O$ -çözgen sistemleri için faz diagramları elde edilmistiir. Ekstraksiyon verimini artırmak amacıyla  $Ca(NO_3)_2$  veya  $NH_4NO_3$  gibi tuzlar ilave edilir. Organik fazın incelenmesi göstermistiir ki,  $UO_2(NO_3)_2$  bu çözgenlerde 4 molekül  $H_2O$  ile beraberdir. Ancak iyonlaşma söz konusu değildir. Veya iyonlaşma söz konusu ise de çok azdır. Nitrat kesin olarak  $UO_2$  sisteminin ekvatorial düzleminde uranyum ile koordinasyon yapmaktadır. Uranil nitrat ekstraksiyonunda  $Ca(NO_3)_2$  veya  $NH_4NO_3$  gibi tuzlara ihtiyacı olmayan önemli bir çözgen tributilfosfattır. Susuz uranil nitrat aşağıdaki reaksiyon ile elde edilir:



Diger uranil tuzlari organik asitler, sulfatlar, halojenurler ve digerlerinden elde edilir. Suda cozünebilir uranil asetat, sodyum asetat fazlalığında seyreltik asetik asitte kristalize  $NaUO_2(OCOCH_3)_3$  çökelegi meydana getirir (19).

#### II.5.4. Uranil Bileşikleri (24,25)

Uranil iyonu,  $UO_2^{2+}$ , çizgisel  $O=U=O^{+2}$  dir. Çoğunlukla dört ilave donor gruplara bağlanması ile oktaedral koordinasyonu tamamlar. Bileşimi  $UO_2(NO_3)_2(OP(OEt)_3)_2$  olan uranilnitrat-trietil-fosfat kompleksinde selatlaşmış nitrat gruplarının meydana gelmesi ve sodyum uranil asetat  $NaUO_2(CH_3COO)_3$  da U(VI)'ya özgü sterokimyası ile uranyumun koordinasyon kimyasının nadir bazı yapılarıdır. Uranil asetat bileşiminde merkez uranyumun koordinasyon sayısı sekizdir. Ancak şekil 9'da görüldüğü gibi hemen hemen düzlemede yer alan ve bir halkayı oluşturan üç asetat grupları ile donatılmış altı oksijen atomları ile koordine olmuştur. Geri kalan iki oksijen atomları bu guruba dikey pozisiyondadır. Kovalant bağlar olmuş olsaydı "f" orbitallerinin kullanılması gereklirdi (24).

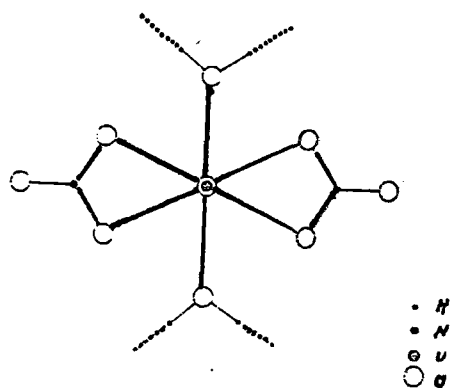
Uranil nitrat ve hidratların termal bozunumu teknolojik olarak önemlidir. Bozunma reaksiyonun kinetiği geniş çapta incelenmiştir.



Önerilmiş olan bir bozunma mekanizması, bozunmanın 200° ve 350°C aralığında iki aşamada ilerlemiş olduğunu ifade etmektedir. Monohidratın olusumu ilk basamaktadır. Her iki reaksiyon birinci dereceden reaksiyon olup, bunların birinci basamağı hızı belirleyen basamaktır.

Uranil nitrat hepta hidrat  $[\text{UO}_2(\text{NO}_3)_2 \cdot 6\text{H}_2\text{O}]$   $a=13.197^\circ\text{A}$ ,  $b=8.035^\circ\text{A}$  ve  $c=11.467^\circ\text{A}$  ile bir ortorombik kristal yapıya sahiptir. Fleming ve Lynton'a göre suyun iki molekülü uranyum atomlarına direkt olarak bağlanması ile  $[\text{UO}_2(\text{H}_2\text{O})_2(\text{NO}_3)_2] \cdot 4\text{H}_2\text{O}$  sulu kompleksini verir. Bu formulasyon susuz uranil nitratın kimyasal davranışını ile uygundur. Örneğin su buharı,  $\text{NO}_2$  ve organik maddeler ile meydana gelen bileşimin genel formülü  $\text{UO}_2(\text{NO}_3)_2 \cdot 2\text{X}$  dur.

Ancak uranil nitrat dihidratın bozulmadan dehidratlanması mümkün değildir. Proton değişimi ile suyun iki molekülü direkt olarak bağlanmış olduğu belirgindir. Uranil konfigurasyonu şekil 11'de gösterilmistir. Burada uranil grubu kağıt düzlemine dikey pozisyonda ve dört nitrat ( $\text{NO}_3$ ) grubundan ikisi simetrik olarak bağlanmış su oksijenlerinden oluşan toplam altı oksijen atomu düzensiz bir altigen tarafından ekvatorial olarak kusatılmıştır (25).



Sekil. 11:  $\text{UO}_2(\text{NO}_3)_2 \cdot 6\text{H}_2\text{O}$  'nın yapısı.

Uranil asetat  $\text{UO}_2(\text{CH}_3\text{COO})_2 \cdot 2\text{H}_2\text{O}$  dihidrat olarak seyreltik asetik çözeltilerinden kristalize olur. Yapısı ise hücrede dört molekül ile ortorombiktir. Bunun şebeke (lattice) parametreleri :  $a=14.95^\circ\text{A}$  ,  $b=9.61^\circ\text{A}$  ve  $c=6.93^\circ\text{A}$  dur (25).

#### II.5.5. Uranyumun Sulu Çözelti Kimyası (19)

Uranyum iyonları sulu çözeltide yapısal olarak karışık bilesikler meydana getirir. Çünkü uygun koşullarda dört oksidasyon durumuna ilaveten  $\text{ClO}_4^-$  hariç tüm iyonlar ile kompleks oluşum reaksiyonu verir. Ayrıca polimer iyonları meydana getiren hidroliz reaksiyonlar da gerçekleşir.

Hidroliz nedeniyle uranyum tuzlarının sulu çözeltileri asidik karakterdedir. Asidik gücü sırasıyla  $\text{U}^{3+} < \text{UO}_2^{2+} < \text{U}^{4+}$  dür. Uranilin  $25^\circ\text{C}$ 'da hidrolizi sonucu  $\text{UO}_2\text{OH}^+$ ,  $(\text{UO}_2)_2(\text{OH})_2^{2+}$  ve

$(\text{UO}_2)_3(\text{OH})_5^+$  bilesikleri oluşur. Ancak bu sistem karışık ve ortam koşullarına bağlı olarak var olan bilesiklerdir. Uranil çözeltilerinde fazla miktarda  $\text{UO}_2$  çözündüğünde  $\text{UO}_2 \text{ OH}^+$  ve hidrokso köprüleri ile bağlanmış polimer bilesikler meydana gelir.

Molar asidik çözeltilerde  $\text{U}^{4+}$  iyonu çok az miktarda hidrolizlenir:

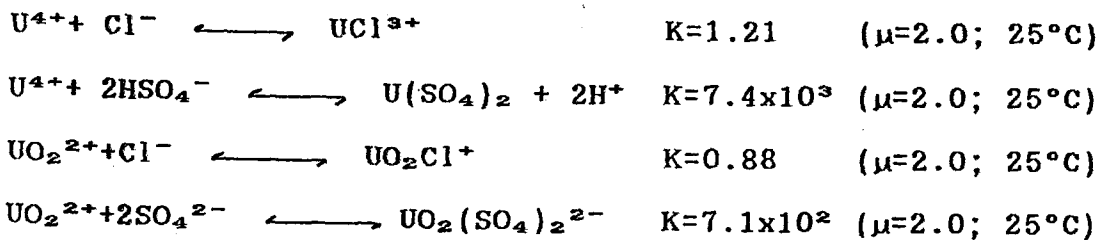


ancak asidik çözeltilerde daha düşük derişimlerle polinüklid bilesikler meydana getirilebilir.

$\text{U}$  (IV) iyonu asidik çözeltilerde  $\text{F}^-$ ,  $\text{PO}_4^{3-}$  ve  $\text{IO}_3^-$  ile çözünmeyen çökelekler meydana getirir.

$\text{U}$  (V) iyonu  $\text{UO}_2^+$ , çok kararsız ve genelde bir geçici faz şeklindedir. Bu iyon pH 2 - 4 aralığında en kararlı durumundadır. Çünkü bu pH aralığında  $\text{U}^{4+}$  ve  $\text{UO}_2^{+2}$  meydana getiren reaksiyon çok yavaştır. Tersine dimetil sülfoksid de  $\text{UO}_2^{+2}$ 'nin indirgenmesi ile spektrumunu elde edilebilir derişimde  $\text{UO}_2^+$ 'yi oluşturur. Uranyum (V)'i HF çözeltilerinde UF şeklinde ve ayrıca  $\text{Cl}^-$  ve  $\text{CO}_3^{2-}$ in derisik çözeltilerinde kararlı hale getirilebilir.

Spektrometrik ve diğer incelemeler, sulu çözeltilerde  $\text{UO}_2^{+2}$  ve  $\text{U}^{4+}$  iyonlarının kolaylıkla kompleks iyonlar oluşturduklarını göstermiştir. Örneğin :



## II.5.6. Sulu Çözeltilerden Uranyumun Geri Kazanımı

Geri kazanım programı ilk olarak 1960 başlarında İngiltere'da Davies ve ark. tarafından başlatılmıştır. Daha sonra diğer ülkelerde örneğin Japonya ve Batı Almanya dahil üniversiteler ve özel şirketler tarafından bazı araştırmalar yapılmıştır (Ör. Schek ark., 1982; Astheimen ark., 1983). Geri kazanım için değişik yöntemler önerilmektedir: Beraber çöktürme (coprecipitation), adsorpsiyon, iyon flotasyon, solvent ekstraksiyon vb. 1981 yılında Kanno tarafından, bunlardan yalnızca adsorpsiyon prosesinin uygun bir adsorban kullanarak uygulanabilir (feasible) olduğu gösterilmiştir (26).

Adsorpsiyon bir ayrışma tekniği olarak saptanmış ve sadece çözünen -çözgen ayrışmasının geniş bir aralık işlemler birimi için kullanıldığı gibi, elementlerin ayrışması ve izolasyonunda da etkili ve uygun bir teknik olarak uygulama alanı bulmuştur. Adsorpsiyonun en büyük avantajı çözeltilerin çok büyük hacimlerinden maddenin küçük miktarlarının ayrılabilmesidir. Şimdiye kadar çok amaçlı adsorban bulunmamış ve geliştirilmemiştir (27). Ancak geçmiş 20 sene içinde çeşitli anorganik ve organik adsorban maddeler denenmiştir.

**Adsorbsiyon prosesi için seçilen adsorban düşük maliyetli olmalı ve yüksek miktarlarda elde edilmelidir. Uygulamada performansı bozulmamalı, çözeltilerde hemen hemen hiç çözünmemelidir (28).**



### III. DENEYSEL ÇALISMALAR

#### III.1. Kullanılan Cihazlar ve Kimyasal Maddeler

##### III.1.1. Kullanılan Cihazlar

- Shimadzu UV Vis-260 ekranlı bilgisayarlı spektrofotometre
- HANNA Instruments HI 8314 membrane pH metre
- Heraeus otomatik ısıticili su banyosu
- Elektro Mag sallayıcı

##### III.1.2. Kullanılan Kimyasal Maddeler

- Sabun çözeltisi
- % 0.01'lik 4-(2-Pyridylazo)Resorcinol (PAR) çözeltisi
- Borik asit/Borat tampon çözeltisi
- Uranyum standart çözeltisi
- % 10'luk  $\text{HNO}_3$  çözeltisi
- 0.01 M'lik  $\text{NaHCO}_3$  çözeltisi

#### III.2. Uranyumun Spektrofotometrik Tayini

Spektrofotometrik yöntemle iz metallerin tayininde yüzey aktifleyici maddelerin kullanımı amacıyla çeşitli yeni teknikler geliştirilmiştir. Duyarlı hale gelen yağlı çözgen (micellar) reaksiyon sistemlerin oluşumunda yüzey aktifleyici maddeler genelde ikili kompleksin renklenmesine sebep olur. Yüzey aktifleyicinin varlığı, sulu çözeltilerde metal iyonların tayinini kolaylastırmak ve absorbсиyon tayfinda betakromik ve / veya hiperkromik kaymalar oluşturur.Uranyum (VI)'nın tayini için iyonik veya iyonik olmayan yüzey aktifleyiciler ile uranyum (VI) selatları arasında üçlü

kompleksler bildirilmistir (29). Heterocyclic azo bilesikler genellikle eser uranyum (VI)'nın tayini için spektrofotometrik reaktifler olarak kullanılmaktadır. İncelenmiş çeşitli renk verici (chromogen)'lerden pyridylazo'nun o-hydroksi türevleri yüksek duyarlılıklıdır ve bunların uranyum (VI) kompleksleri (20000-80000) l / mol cm aralığında tipik molar absorblamlara sahiptirler. Uranyum (VI) heteroazo renkli komplekslerinin çoğu suda az miktarda çözünmekte dirler. Dolayısıyla solvent ekstraksiyonu uygulamak gerektirmis tir. 1-(2-pyridylazo)-2-naphthol (PAN), 4-(2-pyridylazo) resorcinol (PAR), 2-(5-bromo-2-pyridylazo)-5-diethylamino phenol (5-Br-PADAP), 3,5-diBr-PADAP ve 2-(2-thiazolylazo)-5-dimethylaminophenol (TAM), renkli azo'lar ile yapılan çalışmalar sadece PAR reaktifinin sulu çözelilerde kullanabilirliğini göstermiştir (30).

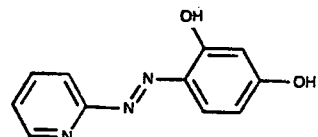
Denemelerde uranyum konsantrasyonu PAR yöntemi ile spektrofotometrik olarak saptanmıştır.

### III.2.1. PAR Yöntemi

4-(2-Prydilazo)-Resorcinol (PAR) U(VI)'nın spektrofotometrik tayininde en duyarlı reaktiflerden biridir. Bu reaktif uranil iyonlarıyla pH 3-10 arasında molar oranı 1:1 formunda 510 nm'de maksimum absorbсиyon verir ( sekil 12 ) . Reaksiyon duyarlığı: ml başına uranyum miktarı 0.02 µg' dir. Optimum pH 5 (borat tampon çözeltisi)' dir.

Cözeltinin 25 ml'sinde U (VI)'nın 2 ile 400 µg konsantrasyon aralığında Beer kuralına uymaktadır. Be , Ti (IV) , Sn (IV) , Mo , W , Ir , Rh , As , Se , Te ve toprak alkali metaller girisim yapmazlar ; ancak Cu , Cr (III) , Pb, Bi , Hg , Sb , Fe , La , Co , Ni , Mn (II) , Zr , Zn , Th

metal ve metal iyonları girişim yaparlar. Girişimci iyonlardan arındıktan sonra yöntem uranyuma uygulanabilir (31).



4-(2-Pyridylazo)-Resorcinol  
(PAR) (32)

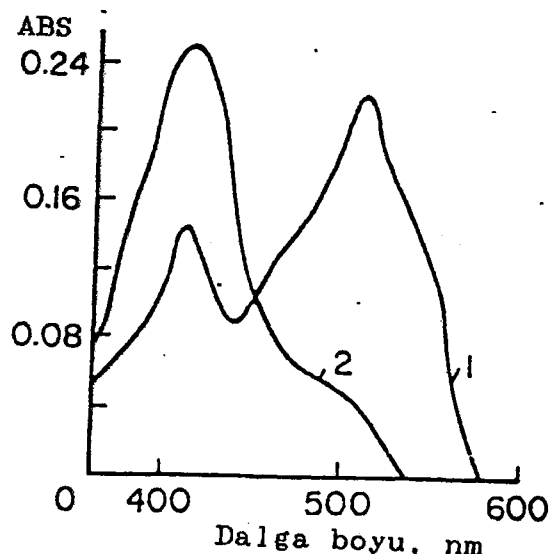
Spektrofotometrik olarak standartlar kullanarak elde edilen standart çalışma eğrisi ''en küçük kareler'' yöntemine göre oluşturulur. Konsantrasyon hesaplamasında geçerli olan formül :

$$C \text{ ( ppm )} = K \cdot \text{Abs} + B$$

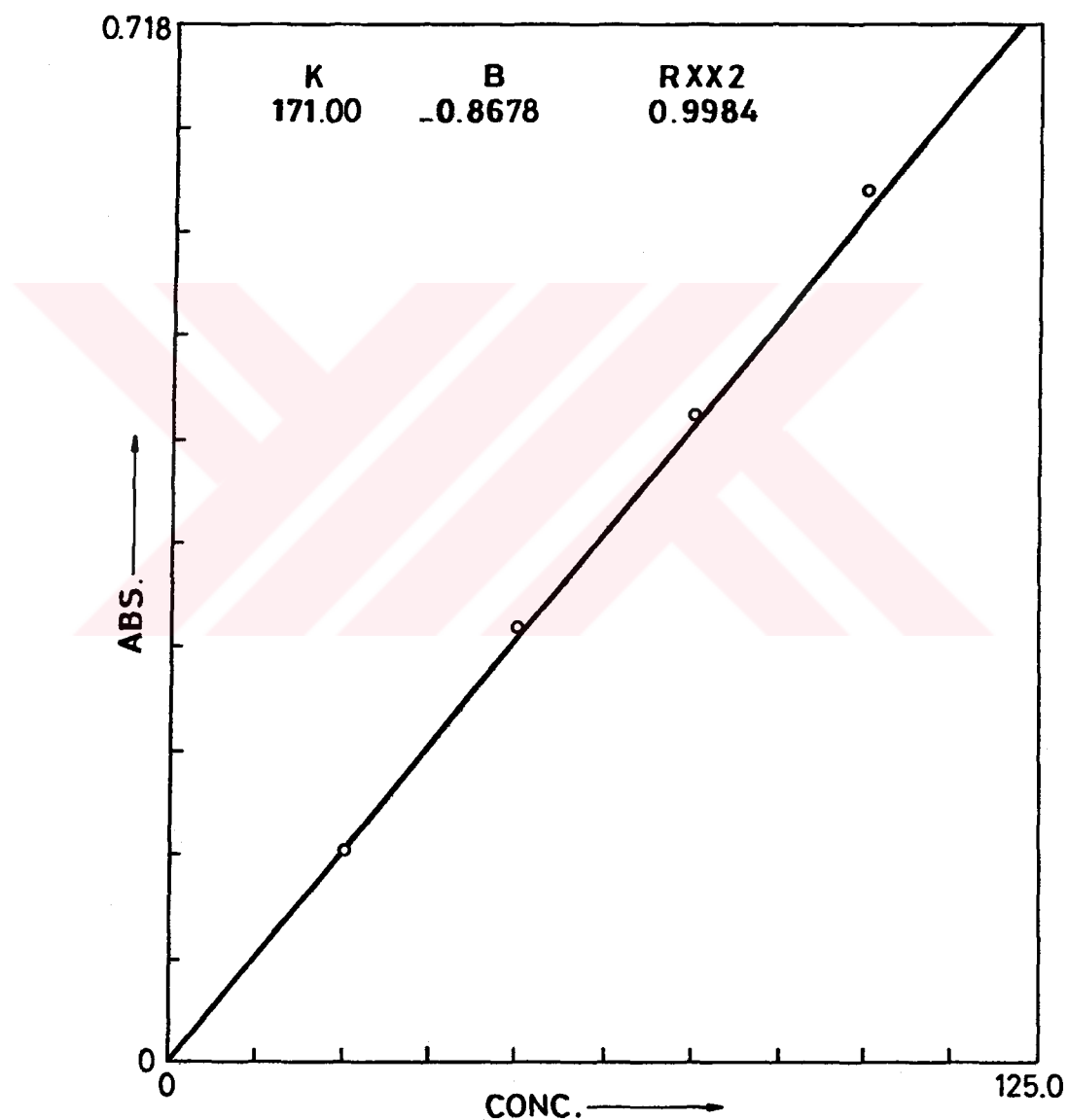
C : Uranyum Konsantrasyonu ( mg / l ) = ppm

K ve B : En küçük kareler yöntemi ile çizilen grafiğe ilişkin sabitlerdir.

Abs : Belli bir dalga boyunda okunan absorbans değeri. Bu metod'da kullanılan kalibrasyon grafiği sekil.13.' de verilmektedir.



Sekil. 12: 1) Uranyumun PAR ile verdiği bilesiğin 2) PAR çözeltisinin ışık absorbşyonu.



Sekil. 13: PAR yönteminde kullanılan kalibrasyon grafiği.

### III.3. Uranyum Standart Çözeltisinin Hazırlanması

Uranyum standart çözeltisi, saf  $\text{UO}_2(\text{NO}_3)_2 \cdot 6\text{H}_2\text{O}$ 'ın 0.5 ml derişik  $\text{HNO}_3$ 'de çözünmesi ile 1000 ppm'lik uranyum konsantrasyonunda ana stok çözelti olarak hazırlanmıştır. Ara stok çözeltiler hazırlanırken 0.01 M  $\text{HNO}_3$  çözeltisi ile seyreltme yapılmıştır.

### III.4. Fibroin'in Hazırlanması

Ham ipekler Bursa İpekçilik Araştırma Enstitüsün'den temin edilmistir. 0.5 'g ince toz haline getirilmiş olan beyaz sabun, 0.05'g  $\text{Na}_2\text{CO}_3$  ile birlikte 100'ml suda, manyetik karıştırıcı kullanarak homojen bir karışım elde edinceye kadar karıştırılmıştır. Bu karışımı 2.00 g ham ipek ilave edilerek geri soğutucu altında 99 - 100°C'da 2 saat süre ile yıkanmaya tabi tutulmuştur. Daha sonra süzülmüş ve alt fazdaki karışımın pH'sı deiyonize suyun pH'ına eşit oluncaya kadar ipek fibroini tekrar tekrar deiyonize suyla yıkanmıştır. Daha sonra kurutulup tırtılmuştur.

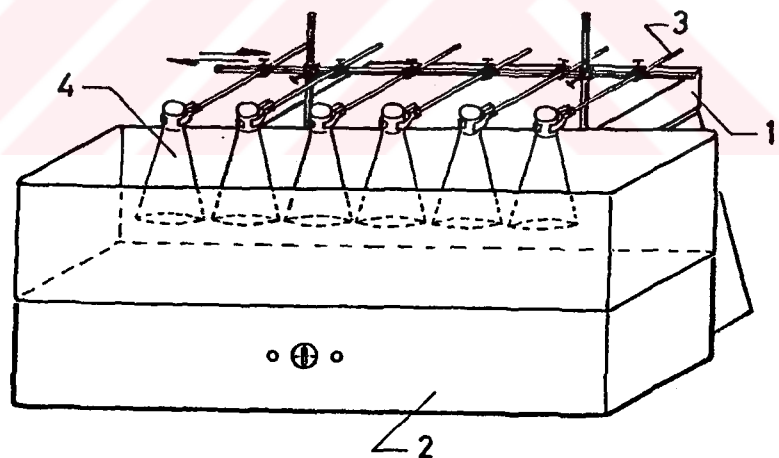
### III.5. Fibroinin Analizi

Elde edilen fibroin'in mikroskopik tayini boyuna görünümü ham ipek ile kıyaslayarak incelenmiştir. *Bombyx Mori* ham ipeğinde görünen serisin kılıfı yıkanmış olarak bulunan fibroin ipeğinde görünmemekte idi. Ayrıca pratik verim hesabı yapılarak fibroin miktarı %76.31 olarak belirlenmiştir. Bu değer literatürlerde mevcut bulunan değere uymaktadır.

### III.6. Alım Denemelerin Yapılışı

Alım denemelerinde 0.1 g'lık 1-3 mm boyunda makaslanmış fibroin (1) ile çalışılmıştır. Belli

konsantrasyonlarda hazırlanan  $\text{UO}_2(\text{NO}_3)_2 \cdot 6\text{H}_2\text{O}$  çözeltileri ile fibroin değişik parametreleri incelemek üzere karıştırılmıştır. Süzme işleminden sonra sulu fazdaki uranyum konsantrasyonu, deneysel çalışmalar bölümünde sözü edilen PAR yöntemi ile spektrofotometrik olarak saptanmıştır. Tüm incelenen parametrelerde termostatlı su banyolu karıştırıcı düzeneği (sekil. 14) kullanılmıştır.



Sekil. 14: Termostatlı su banyolu karıştırıcı; 1) karıştırıcı ,  
2) termostatlı su banyo, 3) kışkaç, 4) erlen-mayer

#### IV. BULGULAR ve TARTISMA

Standart uranyum çözeltileri kullanılarak , uranyum tutma kapasitesinin belirlenmesi, uranyum alımını etkileyen sıcaklık, karıştırma hızı, pH, uranyum konsantrasyonu, süre gibi parametrelerin etkisi araştırılmıştır .

Daha sonra uranyumun geri kazanımı da incelenmiş olup, bu amaçla değişik sıyırmaya reaktifleri denenmiştir. Ayrıca tekrarlanabilme döngüsü da incelenmiştir .

##### IV.1. Alım Denemeleri

###### IV.1.1. Fibroinin Uranyum Alım Kapasitesinin Belirlenmesi

0.125 g fibroin, 50 ml'lik 2000 ppm'lik uranyum çözeltisinde Batch Wise metodu ile 30 °C ' de 24 saat süre ile çalkalanarak etkileştirilmiştir (33). fibroin ' in uranyum alım kapasitesi 2.36 mmol/g olarak bulunmuştur.

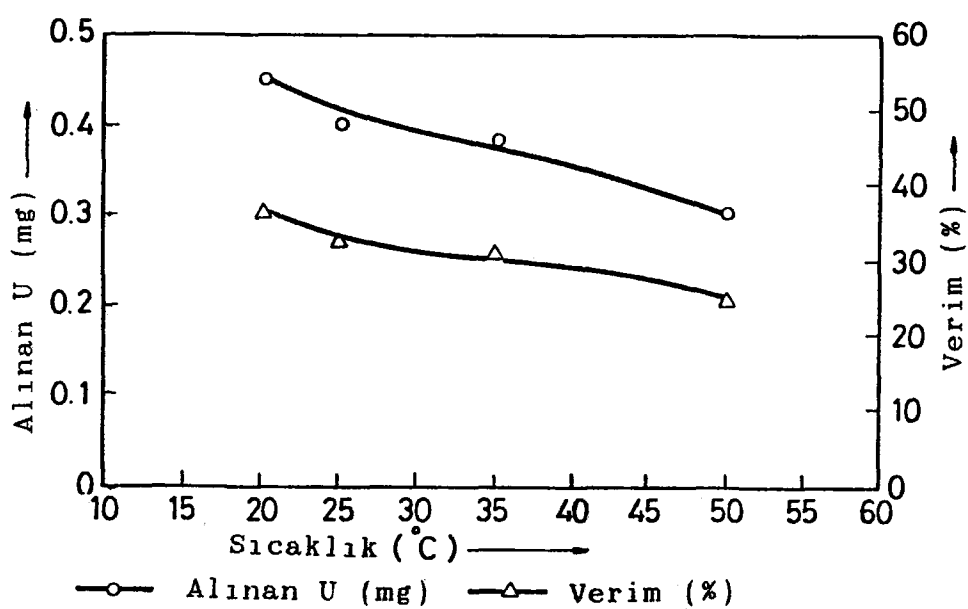
###### IV.1.2. Sıcaklığın Etkisi

Sıcaklığın uranyum alınım verimine etkisi 18 , 25 , 35 , 50 °C'lik sıcaklıklarda incelenmiştir. Deney sonuçları Tablo 5' de , bu değerlere ilişkin grafik de sekil 15' de verilmistir. Uranyum alım veriminin sıcaklık artışı ile ters orantılı olduğu görülmektedir. Sıcaklığın 18°C'dan 50°C'a arttırılması ile alım verimi % 36.14'den %24.34'e düşmektedir. Bu sıcaklık aralığıda ortamda mevcut uranil nitrat kompleksi az etkilenmektedir ve çözeltiden uranyum alınımı zorlaşmaktadır (34). Dolayısıyla uranyum alım verimi azalmaktadır. Çalışma kolaylığı açısından en uygun çalışma sıcaklığı 25°C (oda sıcaklığı) olarak seçilmiş bundan sonraki

denemelerde bu sıcaklıkta çalışılmıştır.

Tablo. 5: Değişik Sıcaklıklarda Fibroine Alınan Uranyum Miktarları ve Verimleri

Fibroin miktarı pH Yüklenen uranyum miktarı Toplam hacim Etkileşim süresi	( g ) : 0.1 : 2.78 ( mg ) : 1.250 ( ml ) : 25 ( dk ) : 360	
Sıcaklık ( °C )	Fibroine alınan U miktarı ( mg )	Alım Verimi ( % )
18	0.45	36.14
25	0.40	32.14
35	0.38	30.70
50	0.30	24.34



Sekil.15: Değişik sıcaklıklarda fibroine alınan uranyum miktarları ve verimleri.

#### IV.1.3. Karıştırma Hızının Etkisi

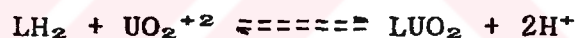
Sistemin karıştırma hızının, uranyumun, fibroine alınımı üzerine etkisini incelemek için, sistemin dakikada yaklaşık 60 ve 120 devir yapması sağlanarak araştırılmıştır. Deney sonuçları her iki devir için Tablo 6'da verilmiştir. Sonuçlara göre, alım veriminin karıştırma hızı ile doğru orantılı olduğunu söyleyebiliriz. Bunun; a) uranyumun çözeltiden fibroin yüzeyine taşınması yani çözeltide difüzyon ve b) uranyumun fibroin yüzeyine absorbsiyon hızının (8) artmasından kaynaklandığı görüşündeyiz. Bundan sonraki denemelerde karıştırma hızı 120 (devir/dk) olacak şekilde ayarlanmıştır.

Tablo. 6: Karıştırma Hızının Fibroine Alınan Uranyum Miktarına ve Verimine Etkisi

Fibroin miktarı Yüklenen uranyum miktarı Sıcaklık Toplam hacim Etkileşim süresi pH	(g) : 0.1 (mg) : 1.25 (°C) : 25 (ml) : 25 (dk) : 360 : 2.78
Karıştırma hızı (devir/dk)	Fibroin'e alınan U miktarı (mg)
60 120	0.38 0.70
	Alım verimi (%)
	30.70 56.09

#### IV.1.4. pH'in Etkisi

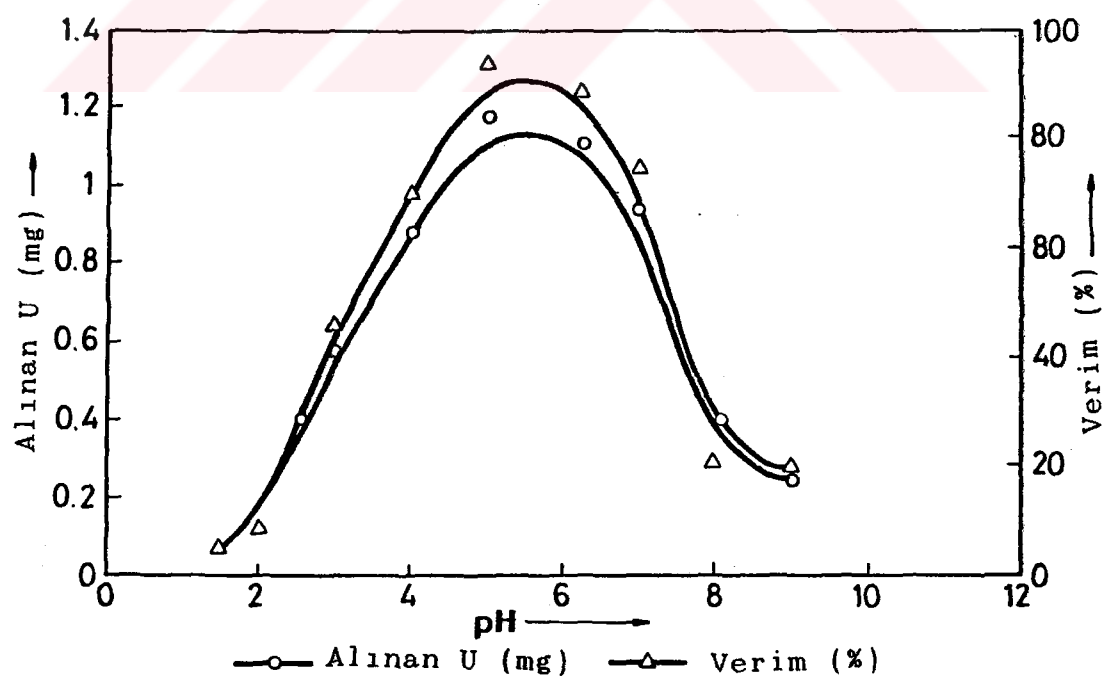
Fibroin, pH 1-10 aralığında olacak şekilde hazırlanan 1.25 mg uranyum içeren standart çözeltiler ile 4 saat karıştırılmıştır. pH ayarlamaları Hanna HI 8314 marka pH metre kullanılarak  $\text{NaHCO}_3$  ve  $\text{HNO}_3$  çözeltileri ile yapılmıştır. Bu pH aralıklarında fibroine alınan uranyum miktarı Tablo 7'de ve Şekil 16'da görülmektedir. Şekilden de görüldüğü gibi maksimum uranyum alımı pH:5 ± 0.02'de gerçekleşmiştir. Bu pH'da  $\text{UO}_2\text{CO}_3$ 'ün kararlılık pH'sıdır (35), ve bu pH'ın üstünde kararlı kompleks iyonlar  $(\text{UO}_2(\text{CO}_3)_2)^{-2}$  veya  $(\text{UO}_2(\text{CO}_3)_3)^{-4}$  olustuğundan fibroin bu kompleks iyonlarını kendine bağlayamaz. pH:5'in altında ise aşağıdaki reaksiyona göre fibroin fonksiyonel gruplarına bağlı kendi protonlarını vererek uranyumu bağlar (36).



Burada L fonksiyonel grubu göstermektedir. Düşük pH'larda  $\text{H}^+$  derişiminin artmasından dolayı denge sola kayar ve fibroin tarafından alınmış olan uranyum miktarında azalma olur. Bu nedenle daha sonraki parametrelerde pH=5 ± 0.02'de çalışılmıştır.

Tablo. 7: Değişik pH'larda Fibroine Alınan Uranyum  
Miktarları ve Verimleri

Fibroin miktarı	(g)	:	0.1
Yüklenen uranyum miktarı	(mg)	:	1.25
Sıcaklık	(°C)	:	25
Toplam hacim	(ml)	:	25
Etkileşim süresi	(dk)	:	240
pH		Alım verimi (%)	
	Fibroin'e alınan U miktarı (mg)		
1.51	0.06		4.93
2.00	0.11		8.49
3.00	0.57		45.91
4.00	0.87		69.69
5.00	1.17		93.47
6.26	1.10		88.13
7.06	0.93		74.26
8.00	0.26		20.50
9.08	0.24		19.43



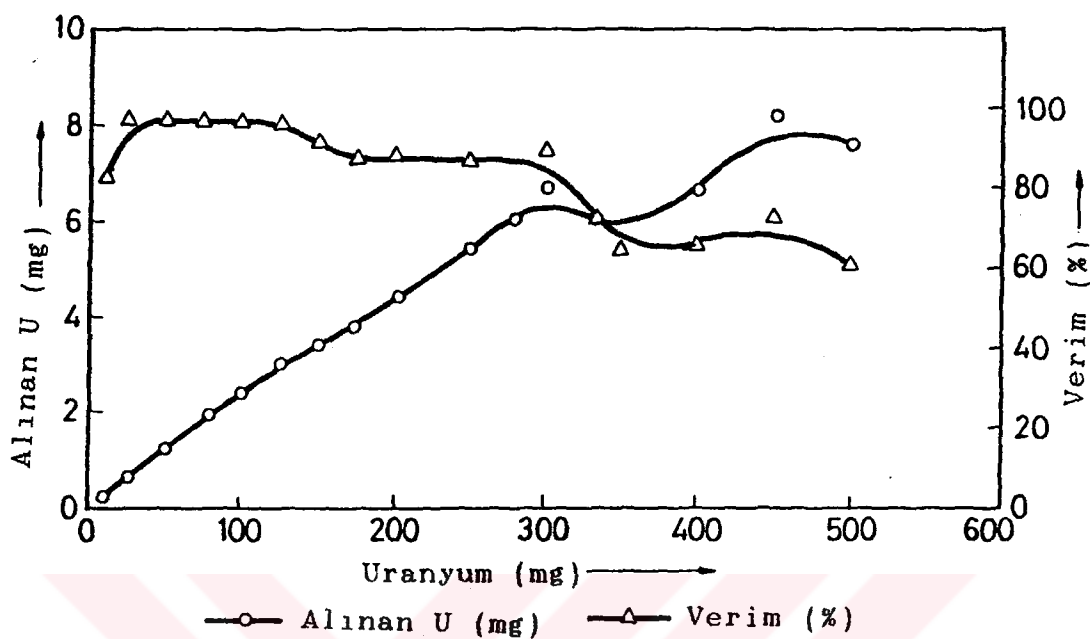
Sekil.16: Değişik pH'larda fibroine alınan uranyum miktarları ve verimleri.

### V.1.5. Uranyum Konsantrasyonunun Etkisi

10-500 ppm'lik uranyum standart çözeltileri kullanarak fibroine alım verimine uranyum konsantrasyonunun etkisi incelenmiştir. 240 dk karıştırma sonunda elde edilen sonuçlar Tablo 8 ve sekill 17 'da verilmiştir. Tablo ve şeklin incelenmesinden görüldüğü gibi uranyum konsantrasyonunun artması ile alım verimi önce 2.500 mg'a kadar artmakta daha sonra ise düşmektedir. Sonuç olarak en uygun uranyum konsantrasyonu  $(2.500 \text{ mg}/25 \text{ ml}) \times 1000 = 100 \text{ ppm}$  olarak seçilmistir. Yüklenen uranyum miktarının artması ile beyaz olan fibroin renginin önce kreme, daha sonra açık sarı'ya, açık sarıdan sarıya, sarıdan koyu sarıya ve en yüksek uranyum miktarlarında ise portakal rengine dönüştüğü gözlenmiştir. Optimum konsantrasyonda portakal rengi gözlenmiştir.

Tablo. 8: Değişik Uranyum Konsantrasyonlarında Fibroine Alınan Uranyum Miktarları ve Verimleri

Fibroin miktarı (gr)	:	0.1	
pH	:	5.00	
Sıcaklık (°C)	:	25	
Toplam Hacim (ml)	:	25	
Etkileşim Süresi (dk)	:	240	
Uranyum Derisimi (ppm)	Yüklenen U Miktarı (mg)	Fibroin'e alınan U miktarı (mg)	Alım verimi (%)
10	0.250	0.21	82.99
25	0.625	0.61	97.46
50	1.250	1.22	97.33
75	1.875	1.82	96.90
100	2.500	2.43	97.04
125	3.125	3.00	96.05
150	3.750	3.43	91.33
175	4.375	3.81	87.07
200	5.000	4.41	88.20
250	6.250	5.39	86.27
300	7.500	6.70	89.40
350	8.750	5.64	64.47
400	10.000	6.58	65.84
450	11.250	8.17	72.61
500	12.500	7.58	60.62



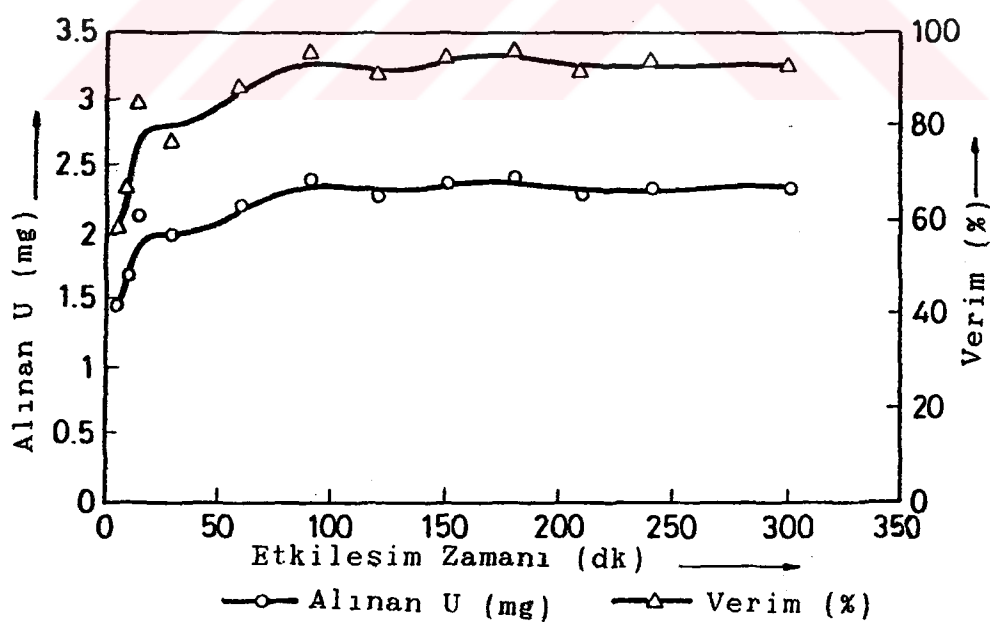
Sekil.17: Değişik Uranyum Konsantrasyonlarında Fibroine  
Alinan Uranyum Miktarları ve Verimleri

#### IV.1.6. Etkileşim Zamanının Etkisinin İncelenmesi

Fibroin, pH=5'e ayarlanmış, 2.500 mg/25 ml (100 ppm) uranyum içeren standart çözeltilerle değişen sürelerde karıştırılmıştır. 5-300 dk arası karıştırma süreleri sonunda elde edilen değerler Tablo 9'da ve bu değerlere ilişkin grafik sekil.18 'de gösterilmiştir. Bu sonuçlara göre, uranyum alımı ilk 15 dakikaya kadar hızlı artmaktadır. Bu durumda alım hızının bu süreler içinde hem çözeltide difüzyon, hem fibroin içinde difüzyon ile kontrol edildiğini söyleyebiliriz (9). Grafikten görüldüğü gibi alım veriminin 90 dakikadan sonra hata sınırları içinde yaklaşık sabit kaldığı, dengeye erişildiği gözlenmektedir. Bunun nedeninin fibroin içindeki absorbsiyon merkezlerinin dolarak azalması olduğu görüşündeyiz.

Tablo. 9: Etkileşim Zamanının Etkisinin İncelenmesi

Fibroin miktarı Yüklenen Uranium miktarı Sıcaklık Toplam hacim pH	(g) : 0.1 (mg) : 2.50 (°C) : 25 (ml) : 25 :	0.1 2.50 25 25 5.00
Etkileşim zamanı (dk)	Fibroin'e Alınan U (mg)	Alım verimi (%)
5	1.45	57.90
10	1.66	66.36
15	2.12	84.69
30	1.90	76.08
60	2.20	88.08
90	2.38	95.00
120	2.27	90.76
150	2.35	93.89
180	2.40	95.85
210	2.28	91.35
240	2.33	93.34
300	2.32	92.65



Sekil.18: Etkileşim zamanının etkisinin incelenmesi.

**IV.1.7. Uranyum Alımında Standart Sapma**

Alım denemeler için elde edilen optimum koşullarda yapılan altı ayrı deneme sonucu, ortalama alım verim yüzdesi ve buna ilişkin standart sapma hesaplanarak  $\% 96.95 \pm 1.51$  olarak bulunmuştur.

## IV.2. Uranyumun Geri Kazanım Denemeleri

### IV.2.1. Sıvırma Reaktifinin Seçimi

Fibroine yüklenen uranyum tekrar geri kazanımı değişik reaktifler kullanarak incelenmiş ve sonuçlar Tablo 10'da verilmistir. Alınan uranyumun kantitatif olarak sıvırabilmesi için kullanılan sıvırma reaktiflerin konsentrasyonunun 1 M 'dan yüksek olması gereklidir (26). Ancak ekonomik açıdan bu denemelerde reaktiflerin 1 M derisimde olmasının daha uygun olduğu düşünülmüştür.  $H_2O$ ,  $K_2CO_3$ ,  $Na_2CO_3$ ,  $H_2SO_4$  ve  $NH_2CONH_2/MeOH$  reaktifler ile sıvırma verimi %5'in altında olduğundan sıvırma yapılamayacağı,  $HCl$ ,  $HNO_3$ ,  $KHSO_4$  ve  $C_4H_6O_6$  reaktifler ile sıvırmanın verimi yaklaşık %7 olduğu gözlenmiştir.  $CH_3COOH$ ,  $(NH_4)_2SO_4$  ve  $CH_3COONa$  reaktifler ile yaklaşık %20'lerde hesaplanan bir sıvırma verimi söz konusudur. Sonuçta, 1 M  $CH_3COONH_4$  sulu çözeltisi, en uygun sıvırma reaktifi olarak seçilmiştir.

Tablo. 10: Sıvırma Reaktifinin Seçimi

Etkileşim sıcaklığı (°C)	: 25		
Çözeltinin hacmi (ml)	: 20		
Etkileşim süresi (dk)	: 60		
Yüklenen U miktarı (mg)	: 2.500		
Fibroin miktarı (g)	: 0.1		
Kullanılan Reaktifin reaktif derisimi	Fibroine alınan U miktarı (mg)	Çözeltiye geçen uranyum miktarı (mg)	Sıvırma verimi (%)
$CH_3COOH$	1 N	2.32	0.40
$CH_3COONa$	1 N	2.33	0.52
$CH_3COONH_4$	1 M	2.27	0.61
$NH_2CONH_2/MeOH$	0.02g/20ml	2.49	0.13
$Na_2CO_3$	1 M	2.43	0.01
$K_2CO_3$	1 M	2.43	0.01
HCL	1 N	2.32	0.16
$HNO_3$	1 N	2.40	0.17
$H_2SO_4$	1 N	2.13	0.07
$KHSO_4$	1 N	2.26	0.18
$C_4H_6O_6$	1 M	2.40	0.17
$(NH_4)_2SO_4$	1 M	2.37	0.47
$H_2O$	---	2.43	0.01
			0.27

#### IV.2.2. Siyirmada pH 'ın Etkisinin İncelenmesi

Bu amaçla pH 5 ve 7.16'ya ayarlanmış 1 M'lik  $\text{CH}_3\text{COONH}_4$  çözeltileri uranyum yüklü fibroin ile su banyolu karıştırmalı sistemde birer saat karıştırılmıştır. Bu çalışmaya iliskin alınan sonuçlar Tablo 11'de verilmiştir. Alınan sonuçlara göre en uygun pH'ın 5 olduğu saptanmıştır.

Tablo. 11: Siyirmada pH 'nın Etkisi

Etkileşim sıcaklığı ( $^{\circ}\text{C}$ ) :	25		
Çözeltinin hacmi (ml) :	20		
Etkileşim süresi (dk) :	60		
Yüklenen U miktarı (mg) :	2.500		
Fibroin miktarı (g) :	0.1		
pH	Fibroine alınan U miktarı (mg)	Çözeltiye geçen U miktarı (mg)	Siyırma verimi (%)
5.00	2.43	1.68	69.20
7.16	2.38	0.73	30.66

#### IV.2.3. Siyirmada Etkilesim Süresinin Etkisi

pH:5 'e ayarlanmış 1 M'lik  $\text{CH}_3\text{COONH}_4$  çözeltisi ile uranyum yüklü fibroin 60 ve 180 dk süre ile karıştırılmıştır. Buna ilişkin sonuçlar Tablo 12'de verilmiştir. Sürenin 60 dk'dan 180 dk'a çıkması ile verim %70.00'den %89.89'a çıkmaktadır.

Tablo. 12: Siyirmada Etkilesim Süresinin Etkisi

Etkilesim sıcaklığı ( $^{\circ}\text{C}$ )	:	25	
Cözeltinin hacmi (ml)	:	20	
Yüklenen U miktarı (mg)	:	2.500	
Fibroin miktarı (g)	:	0.1	
pH	:	5	
Süre (dk)	Fibroine alınan U miktarı (mg)	Cözeltiye geçen U miktarı (mg)	Siyırma verimi (%)
60	2.43	1.70	70.00
180	2.43	2.18	89.89

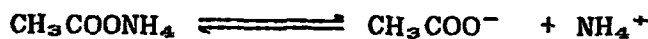
#### IV.2.4. Siyirmada Standart Sapma

Optimum koşullarda yapılan dört ayrı deneme sonucu ortalama yüzdesel siyırma verimi ve buna ilişkin standart sapma hesaplayarak  $\% 85.57 \pm 4.07$  olarak bulunmuştur.

#### IV.2.5. Tekrarlanabilme Döngüsünün İncelenmesi (4)

Fibroinin uranyum alınımında tekrarlanabilme döngüsünü inceleyebilmek için uranyum sulu çözeltisi ile etkilesimin optimum koşullarında ve pH'ı 5 olan 1M  $\text{CH}_3\text{COONH}_4$ 'ün 180 dk siyırma süresi ile alım-siyırma döngüleri yapılmıştır. Buna ilişkin bilgiler Tablo 13'de verilmiştir. Bu

sonuçlara göre sıyırmacı reaktifinin ( $\text{CH}_3\text{COONH}_4$ ) etkisi ile uranyum uranil asetat formunda sıyırlılmaktadır. Reaktifin  $\text{NH}_4^+$  iyonunun fibroinin bağlama merkezlerine bağlanmış olduğunu söyleyebiliriz. Ancak 3.kez sıyırmacı sonunda fibroin  $\text{NH}_4^+$  iyonu bakımından doygunluğa erişmiştir. Aşağıdaki reaksiyona göre ;



ortamda  $\text{NH}_4^+$  iyonunun aşırı miktarda bulunması dengeyi sola kaydırırmakta ve dolayısıyla sıyırmacı verimi I.sıyırmacı döngüsünün sonunda % 84.26 iken 3.sıyırmacı döngüsünün sonunda % 19.35'e düşmektedir.

Tablo. 13: Tekrarlanabilme Döngüsüne İlişkin Veriler

Fibroinin miktarı	(g)	:	0.1	
Yüklenen U miktarı	(mg)	:	2.500	
Alınım sıcaklığı	(°C)	:	25	
Uranyumun sulu çözeltisinin toplam hacmi	(ml)	:	25	
Alınım etkileşim süresi	(dk)	:	90	
pH		:	5	
$\text{CH}_3\text{COONH}_4$ 'un toplam hacmi	(ml)	:	20	
Sıyırmacı sıcaklığı	(°C)	:	25	
Sıyırmacı etkilesimin süresi	(dk)	:	180	
Döngü No	fibroin de U miktarı (mg)	Alım verimi (%)	Sıyırmacı çöz. U miktarı (mg)	Sıyırmacı verimi (%)
I	2.48	99.20	2.09	84.26
II	2.66*	90.84	1.32	49.62
III	3.41*	82.87	0.66	19.35

\* II ve III basamaklarda kümülatif değerler kullanılmıştır.

## V. S O N U Ç

Bu çalışmada Bursa İpekbocekçiliği Araştırma Enstitüsünden sağlanan Japon-Çin hibridinden elde edilmiş olan *Bombyx mori* ipek fibroini kullanarak sulu çözeltiden uranyum alımını etkileyen parametreler incelenmiş, optimum alım koşulları saptanmıştır. Alım mekanizmasının; çözeltide bulunan kompleks yapıcı maddelere, çözeltinin pH'ına, uranyum konsantrasyonuna, sıcaklığa, ve etkileşim hızına bağlı olduğu gözlenmiştir. Ön denemelerde yaklaşık %30 oranında bulunan uranyum alım verimleri, optimum parametrelerin belirlenmesi ve uygulanması ile %97'lere çıkarılmıştır.

Uranyum alımını ve elusyonunu etkileyen parametreler incelendiğinde topluca özetleyebileceğimiz şu sonuçlar gözlenmiştir.

- Uranyum alım verimi sıcaklık artışı ile ters orantılı olarak azalmakta, karıştırma hızının 60 devir/dk'den 120 devir/dk'ya çıkarılması ile ise yaklaşık 2 kat artmaktadır.

- En önemli etki, pH değişimlerinde gözlenmiştir. pH=1.50'de alım verimi %5 iken pH=5.00'de %93'e çıkmıştır. Bu durum uranyum alımının çözeltide bulunan kompleks yapıclara bağlı olduğunu belirtmektedir. pH'nın daha fazla arttırılması ile alım azalmakta ve pH=9.08'de %19'a düşmektedir.

- 10-500 ppm'lik çözeltiler kullanılarak uranyum konsantrasyonunun etkisinin incelendiği çalışmalar sonucunda, söz edilen aralıkta alım veriminin %61'den büyük olduğu görülmüştür. 10 ppm'de %83 olan verim 25 ppm'de %97'ye çıkmış 125 ppm'e kadar bu yüksek değeri korumuştur. 300 ppm'e kadar verim yaklaşık %90'dır. Uranyum konsantrasyonunun artması ile tutmanın artığı ipegin beyaz renginin gittikçe koyulasarak

portakal rengine dönüşmesi ile de gözleme bilmektedir.

- Etkileşim süresinin etkisinin incelenmesi ile ilk 5 dk içinde yaklaşık %60'lık bir alım verimine eristiği, 1 saat sonunda yaklaşık %90'a, 1.5 saat sonunda ise %95 ile maksimum değere eristiği ve dengeye ulaştığı gözlenmiştir.

- Belirlenen optimum koşullarda elde edilen tutma verimi %96.95 ± 1.51'dir. Doğal materyalle çalışıldığı göz önüne alınırsa, standart sapmanın küçük olduğu ve tekrarlanabilir sonuçlar elde edildiği görülmektedir.

- Siyırma çalışmaları sonunda ise, en uygun siyırma reaktifi 1M  $\text{CH}_3\text{COONH}_4$  olarak seçilmiş, siyirmayı etkileyen parametrelerin incelenmesi ve optimum koşulların uygulanması ile %85.57 ± 4.07'lik siyırma verimi bulunmaktadır. Materyaliminin doğal olması göz önüne alındığında verimli bir siyırmanın yapılabildiği söylenebilir.

- Alım-siyırma döngüsünün tekrarlanabilme aşamasında her siyırma işlemi için siyırma reaktifinin konsantrasyonunun arttırılmasının gerekliliği gözlenmektedir.

Balköse, çözeltide fibroinin iyonize karboksil grupları ile bağlanmada metal katyonları ile rekabet edebilecek derisimde  $\text{H}^+$  bulunması; diğer taraftan ortamda  $\text{OH}^-$  derisiminin artması metal katyonlarının suda çözünmeyen hidroksitler ve oksitler vermesine neden olduğundan, fibroine metal katyonu alımını engellemekte olduğunu belirtmektedir (8). Nakajima ve Sakaguchi uranyum alımında hiç bir metabolik prosesin tek başına direkt olarak etkili olmadığını ve hücre komponentleri üzerinde alımın hemen hemen tamamıyla fizikokimyasal adsorbsiyona bağlı olduğunu açıklamışlardır (7).

Bütün bu sonuçların gözönüne alınması ile, Bombyx mori ipeki fibroinin sulu çözeltilerden uranyumun kazanılmasında

kullanılabileceği görülmektedir. Fakat, uranyum içeren gerçek çözeltilerle çalışılması durumunda matriks etkisi incelenmeli, özellikle çalışacak ortamın içerdiği safsızlıklara göre interfere etkiler arastırmalıdır. Böylece, uranyumun çeşitli kaynaklarından kazanılmasında ve uranyum yakıt teknolojisinde çeşitli aşamalardaki atıklardan uranyumun uzaklaştırılmasında bu doğal yapıdan yararlanılabileceği kanısındayız.



K A Y N A K L A R

- 1) Masri, M.s., Friedman, M., Protein Metal Interactions,  
Plenum Press, New York, (1974).
- 2) Sakaguchi, T., Horikoshi, T., and Nakajima, A., Adsorption  
of Uranium by Chitin Phosphate and Chitosan Phosphate,  
Agric. Biol. Chem., S. of Japon, 10, 2191-2195, (1981).
- 3) Nakajima, A., and Sakaguchi, T., Selective Accumulation of  
Heavy Metals by Microorganisms, Appl. Microbiol Biotechnol.  
24, 59-64, (1986).
- 4) Sakaguchi, T., and Nakajima, A., Recovery of Uranium from  
Seawater by Immobilized Tannin., Separation Science and  
Technology. 22, 6, 1609-1623, (1987).
- 5) Nakajima, A., and Sakaguchi, T., Recovery of Uranium by  
Tannin Immobilized on Agarose, J. Chem. Tech. Biotechnol.,  
40, 223-232, (1987).
- 6) Sakaguchi, T., Horikoshi, T., and Nakajima, A., Uptake of  
Uranium from Seawater by Microalgae, J. Ferment. Technol.,  
56, 6, 561-565, (1978).
- 7) Nakajima, A., and Sakaguchi, T., Recovery and Removal of  
Uranium by Using Plant Wastes, Biomass 21, 55-63, (1990).
- 8) Balköse, D., Dogal ve Değiştirilmiş Fibroine Metal  
Katyonlarının Alımı, Doğa Tu. Kimya D. 12,1. 5-14. (1988).
- 9) Balköse, D., ve Pekin, B., Sulu Bakıramin ve Nikelamin  
Çözeltilerinin Yüne Etkisi, E. Ü. Fen Fak. Der. Seri A,  
II. 2. 141-154, (1978).
- 10) Balköse, D., Doğal ve Değiştirilmiş İpek Fibroininin Kimi  
Fizikokimyasal Özelliklerinin İncelenmesi, Doç. Tezi  
E. Ü. Kimya Fak. Kimya Böl. Haz., (1982).

- 11) Asakura, T., NMR of Silk Fibroin. 3. Assignment of Carbonyl Carbon Resonances and Their Dependence on Sequence and Conformation in *Bombyx mori* Silk Fibroin Using Selective Isotopic Labeling, Reprinted from *Macromolecules*, 17, 2421, (1984).
- 12) Saunders,K.J., Organic Polymer Chemistry, Secound Edition An Introduction To The Organic Chemistry of Adhesives, Fibres, Paints, Plastics and Rubbers, Published in USA by Chapman and Hall, (1988).
- 13) Carboni, P., Silk Biology, Chemistry Technology, Silk Experiment Station, Milan, London, Chapman & Hall Ltd, 37 Essex Street, W.C.2, (1952).
- 14) Krishnaswami, S., Madhava -Rao, N.R., Suryanarayan, S.K. Sundaramurthy, T.S., Agricultural Services Bulletin 15 AGS:ASB/15, (1972).
- 15) Asakura, T., and et al, Metabolic Flux and Incorporation of [2-<sup>13</sup>C]Glycine into Silk Fibroin Studied by <sup>13</sup>C NMR Vivo and Viro, *Insect Biochem.*, 21, 7, 743-748, (1991).
- 16) Asakura, T, and et al., <sup>13</sup>C and <sup>31</sup>P NMR Analyses of The Cultured Posterior Silk Gland of the Silkworm, *Bombrx Mori*: Silk Fbroin Production and the Effect of Sorbitol-6-Phosphate, *Insect Biochem.*, 20, 3, 261-266, (1990).
- 17) Asakura, T., and et al., <sup>13</sup>C and <sup>31</sup>P NMR Studies on Sugar Metabolism in *Bombyx Mori* and *Philosamia Cynthia Ricini* Larvae, *Insect Biochem.*, 18, 6, 531-538, (1988).
- 18) Billmeyer, F., W., Jr., Textbook of Polymer Science, Third Edition, A Wiley - Interscience Publication Institute, Troy, New York. John Wiley and Sons, Printed in the United States of America, (19 ).

- 19) Cotton, F., and Wilkison, G., Advanced Inorganic Chemistry, Third Edition, Interscience Publishers (John Wiley & Sons), 1972. Translation to Persian, Shafai, M and Sadaghi, N., University Publisher Center, IRAN, (1986).
- 20) Eral, M., Nükleer Yakıt Teknolojisi Ders Notları, (basılmamış).
- 21) Cotton, F., and Wilkison, G., Advanced Inorganic Chemistry a Comprehensive Text, Interscience Publishers A division of John Wiley and Sons, (1962).
- 22) Heslop, R., B., and Jonse, K., Inorganic Chemistry, A Guide to Advanced Study, Elsevier Publishing Company, Amsterdam, London, New York, (1976). Translated to Persian, Seid Sajadi, M. A., Zoghi Publishing Company, IRAN (1987).
- 23) Foster, A., R., and Wright, R., Basic Nuc.Eng. Third Edition, Allyn and Bacon, 1977. Translated to Persian, Rehbar, M., Afshar, Bachshelou, A. University Publisher Center, IRAN, (1985).
- 24) Jones, M., M., Elementary coordination Chemistry, Prentice - Hall, Inc., Englewood Cliffs, N., J., (1964).
- 25) Cordfunke, E., H., P., The Chemistry of Uranium Including its Applications in Nuclear Technology, Elsevier Publishing Company , Amsterdam/London/New York, (1969).
- 26) Satio, K., and et al., Recovery of Uranium from Seawater Using Amidoxime Hollow Fibers, Reprinted from AICHE Journal, March (1988).
- 27) Dai, M. H., and Wu, S. C., Adsorption of Uranium from Dilute Aqueous Solution on Inorganic Adsorbents, Separation Science, 10, 5, 633-638, (1975).

- 28) Schenk, H. J., and et al., Development of Sorbers for the Recovery of Uranium from Seawater. 1. Assessment of Key Parameters and Screening Studies of Sorber Materials, Separation Science and Technology, 17, 11, 1293-1308, (1982).
- 29) Abe, S., Endo, M., Ozaki, K., Extraction of Uranium (VI) -Pyridylazo Dye Complexes into a Droplet of Lipophilic Polyoxoyethylene Nonyl Phenyl Ether (PONPE-2) for Subsequent Spectrophotometry, J. Radioanal. Nucl. Chem., Letters 154, 1, 41-51, (1991).
- 30) Abe, S., and Ojima, K., Preparation of Soluble Ternary Heteroazo Dye Complexes for the Spectrophotometric Determination of Trace Uranium(VI), Mikrochim. Acta [Wien], III, 309-319, (1986).
- 31) Busev, A.I., Tiptsova, V.G., and Ironov, V.M., Handbook of the Anal. Chem. of Rare Elements, Mir Publishers Moscow, London, (1970).
- 32) Merck Reagents, Diag. Chem. Cata., (1990/91).
- 33) Kabay, N., Lab. Notlari,(Basilmamis).
- 34) Akyil, S., Zeolit X'in Uranyum Adsorpsiyonunda kullanılabılırliğinin Arastırılması, Yük. Lisans Tezi, E. Ü., Nük. Bil. Enst., (1991).
- 35) Bitte, J., Uranium Extraction from Seawater, Reprint from Advances in Uranium Ore Processing and Recovery from Non-Conventional Resources, International Atomic Energy Agency Vienna, (1985).
- 36) Sakaguchi, T., and Nakajima, A., Accumulation of Uranium by Biopigments, J. Chem. Tech. Biotechnol. 40, 133-141, (1987).